

UNIVERSIDADE ESTADUAL DE CAMPINAS

FACULDADE DE ENGENHARIA DE ALIMENTOS E AGRÍCOLA

DEPARTAMENTO DE ENGENHARIA AGRÍCOLA

Parecer

Este exemplar corresponde à redação final da tese defendida por Roberto Amaral Duarte e aprovada pela Comissão Julgadora em 13 de dezembro de 1985.

Campinas, 13 de dezembro de 1985



Presidente da Banca

EQUAÇÕES EMPÍRICAS DE TENSÕES ESTRUTURAIS DE ARADOS
GERADAS PELO CÁLCULO ESTRUTURAL COMPUTADORIZADO

AUTOR: NORBERTO AMARAL DUARTE

ORIENTADOR: PROF. DR. OSCAR ANTONIO BRAUNBECK

TESE APRESENTADA À FACULDADE DE
ENGENHARIA DE ALIMENTOS E AGRÍCO-
LA, DA UNIVERSIDADE ESTADUAL DE
CAMPINAS -UNICAMP- COMO PARTE DOS
REQUISITOS EXIGIDOS PARA OBTENÇÃO
DO TÍTULO DE MESTRE EM ENGENHARIA
AGRÍCOLA.

A Maria de Lourdes,
que comigo percorreu este
longo e árduo caminho,
florindo com seu sorriso.

AGRADECIMENTOS . . .

... ao Prof. Dr. Oscar Antônio Braunbeck pela orientação objetiva e segura, embasada em sábios ensinamentos e, acima de tudo, pela compreensão e amizade dispensadas ao longo dos últimos anos.

... às instituições de ensino que propiciaram as condições e forneceram os meios para a efetivação deste estudo.

... aos professores do Departamento de Engenharia Agrícola que, devido à solidariedade, compreensão e amizade, tornaram possível a consecução deste desiderato.

... ao Prof. Dr. Sebastião de Amorim, do IMECC-UNICAMP, pela orientação no desenvolvimento e análise estatística do experimento.

... aos Profs. Drs. Inácio Maria Dal Fabbro, José Lúcio Vasconcellos da Rocha, José Tadeu Jorge e Wesley Jorge Freire pela habitual atenção e colaboração dispensada.

... ao Eng. Ruy Casão Junior e família pelo estímulo, apoio e amizade.

... à minha mãe Lucília, sogra Marina, irmãos e demais familiares pelo inestritivo apoio e compreensão.

... ao meu saudoso pai, Felisberto, pelos exemplos que se segue,

CONTÉUDO

	PÁGINA
ÍNDICE DE TABELAS	vi
ÍNDICE DE FIGURAS	vii
ÍNDICE DE APÊNDICES	ix
SÍMBOLOGIA	x
RESUMO	1
SUMMARY	3
1. INTRODUÇÃO	4
2. OBJETIVOS	7
3. REVISÃO BIBLIOGRÁFICA	9
3.1 Geometria da seção	9
3.2 Torção em tubos de paredes delgadas	11
3.3 Reações do solo no disco do arado	14
3.4 Largura de trabalho dos discos	16
3.5 Distância entre os discos	17
3.6 Altura da torre	18
3.7 Cálculo estrutural	21
3.8 Método de superfície de resposta	22
4. MATERIAIS E MÉTODOS	23
4.1 Sistemas de eixos referenciais	24
4.2 Microcomputador	25
4.3 Elemento estrutural	26
4.4 Registro de dados	27
4.5 Gravação de dados	27
4.6 Método da rigidez	28

	ÍNDICE	p. 0
4.6.2	Etapas do método da rigidez	28
4.7	Análise do pórtico espacial	32
4.7.1	Grau de indeterminação cinemática	32
4.7.2	Propriedades da estrutura	33
4.7.3	Matriz de rotação	36
4.7.4	Condições de restrições dos nós	38
4.7.5	Matriz de rigidez da estrutura	42
4.7.6	Inversão da matriz de rigidez	45
4.7.7	Cargas na estrutura	46
4.7.7.1	Cargas nodais	46
4.7.7.2	Cargas nas barras	46
4.8	Construção dos vetores associados às cargas	48
4.8.1	Cargas equivalentes	48
4.8.2	Cargas combinadas	49
4.9	Cálculo de ações nas extremidades das barras	54
4.9.1	Deslocamento de nó e reações de apoio	54
4.9.2	Ações nas extremidades das barras	52
4.9.3	Armazenamento das ações	54
4.10	Tensão máxima na barra	55
4.11	Geração das equações empíricas	62
5.	RESULTADOS E DISCUSSÃO	63
5.1	Condições de apoio	63
5.2	Pontos de tensão máxima	68
5.3	Modelos matemáticos	69
6.	CONCLUSÕES	78
7.	SUGESTÕES	80
8.	REFERÊNCIAS BIBLIOGRÁFICAS	84
9.	APÊNDICES	85

ÍNDICE DE TABELAS

TABELA	PÁGINA
3.6.1 Dimensões padronizadas do engate de três pontos, categorias I e II.	20
4.7.1 Coordenadas dos nós da estrutura do arado.	33
4.7.2 Orientação das barras.	35
4.7.3 Dados de entrada relativos à estrutura e ao material considerado no projeto.	35
4.7.4 Condições de restrições para o arado em operação normal.	39
4.7.5 Condições de restrições para o arado operando sem roda guia, com as correntes estabilizadora direita tensionada e esquerda afrouxada.	40
4.7.6 Condições de restrições para o arado operando sem roda guia, com as correntes estabilizadora direita afrouxada e esquerda tensionada.	41
4.9.1 Dados de entrada relativos às cargas.	54
4.10.1 Variáveis da estrutura.	56
4.10.2 Valores que as variáveis da estrutura podem assumir.	56
5.4.1 Tensão máxima nas barras (N/cm ²) para as	

três situações de apoio considerando as va- riáveis $A_1 = A_2 = A_4 = A_5 = 2$, $A_3 = 6$, $A_6 = A_7 = 0,203$ $(cm = 0,569 \text{ cm})$.	65	
5.4.2	Tensão máxima nas barras (N/cm^2) para as três situações de apoio considerando as variáveis $A_1 = A_2 = 4$, $A_3 = 6$, $A_4 = 2$, $A_5 = 2$, $A_6 = A_7 = 0,203$, $A_8 = 0,569 \text{ (cm)}$.	65
5.4.3	Tensão máxima nas barras (N/cm^2) para as três situações de apoio considerando $A_3 = 8$ $A_1 = A_2 = A_5 = 4$, $A_4 = 2$, $A_6 = 0,325$, $A_7 = 0,733 \text{ (cm)}$.	66
5.4.4	Tensão máxima nas barras (N/cm^2) para as três situações de apoios considerando $A_1 = 4$ $A_2 = A_5 = 2$, $A_3 = 8$, $A_4 = 4$, $A_6 = 0,325$, $A_7 = 0,733 \text{ (cm)}$	66
5.4.5	Tensão máxima nas barras (N/cm^2) para as três situações de apoios considerando $A_1 = 1$ $A_2 = 2$, $A_3 = 4$, $A_4 = 3$, $A_5 = 2$, $A_6 = A_7 = 0,5 \text{ (cm)}$.	67
5.4.6	Tensão máxima nas barras (N/cm^2) para as três situações de apoios considerando $A_1 = 2$ $A_2 = A_4 = A_5 = 2$, $A_3 = 5$, $A_6 = 0,4$, $A_7 = 0,7 \text{ (cm)}$.	67
5.5.1	Parâmetros da equação de regressão para de- terminação das tensões máximas nas barras estruturais do arado de três discos.	71
5.5.2	Dados da avaliação estatística das equa- ções empíricas de tensão máxima (T_{MAX}).	72
5.5.3	Parâmetros estimados para equação de re- gressão, modelo simplificado.	76
5.5.4	Dados da avaliação estatística das equações empíricas de tensão máxima (T_{MAX}), modelo simplificado.	76

ÍNDICE DE FIGURAS

FIGURA		PÁGINA
3.1.1	Seção transversal das barras da estrutura.	10
3.3.1	Forças exercidas pelo solo sobre o disco.	13
3.3.2	Coluna de sustentação do disco à estrutura do arado.	13
3.3.3	Esfôrços resultantes sobre os nós 4 e 5 da estrutura do arado devidas às reações do solo.	14
3.3.4	Esfôrços resultantes sobre a barra 4 da estru tura do arado devidos às reações do solo.	15
3.5.1	Distância t entre os discos do arado.	18
3.6.1	Dimensões padronizadas do engate de três pontos.	19
4.1.1	Estrutura portante do arado de três discos.	24
4.1.2	Vistas principais da estrutura espacial do arado.	25
4.7.1	Indexação da barra I.	42
4.7.7	Ações de engastamento na barra genérica I.	47
4.9.1	Numeração das ações nas extremidades da barra.	51
4.10.1	Centroíde da metade da seção.	57
4.10.2	Pontos pesquisados na seção da barra.	61
5.3.1	Gráfico de tensões máximas na barra 2.	73
5.3.2	Gráfico de tensões máximas na barra 4.	73

ÍNDICE DE APÊNDICES

APÊNDICE	PÁGINA	
A	Programa de Análise de Pórticos	
	Espaçais	95
B	Subprograma Matriz de Rígidez	106
C	Subprograma Inverte Matriz	107
D	Subprograma Peso Próprio	108
E	Subprograma Ações nas Barras	108
F	Subprograma Guarda Ações	109
G	Subprograma Lê Ações	110
H	Subprograma Guarda TMAX	110
I	Subprograma Varia Seção	111
J	Subprograma Tensão Máxima	112
L	Matriz de Rígidez de Barra de Pórtico Espacial	114
M	Diagrama de Blocos da Análise de Pórtico Espacial	115
N	Tabela de Ações de Engastamento	117
O	Banco de Dados das Variáveis e das Tensões Máximas da estrutura	118

S I M B O L O I A

SÍMBOLO	DESCRIÇÃO	UNIDADE
A	LARGURA EXTERNA DA SEÇÃO TRANSVERSAL DA BARRA	m
A(0)	AÇÕES NOS NÓS	N
AA	IDENTIFICADOR PARA O ÂNGULO (ALFA)	--
AC(0)	CARGAS NODAIS COMBINADAS	N
AE(0)	CARGAS NODAIS EQUIVALENTES	N
AM(0)	AÇÕES NAS EXTREMIDADES DA BARRA	N
AR(0)	REAÇÕES NOS APOIOS	N
AX(0)	ÁREA DA SEÇÃO TRANSVERSAL DA BARRA	m ²
AML(0)	AÇÕES NAS EXTREMIDADES DA BARRA RESTRINGIDA	N
B	ALTURA EXTERNA DA SEÇÃO TRANSVERSAL DA BARRA	m
C	LARGURA INTERNA DA SEÇÃO TRANSVERSAL DA BARRA	m
C()	IDENTIFICADOR PARA ARMAZENAMENTO TEMPORÁRIO DA TENSÃO MÁXIMA	N/m ²
CX, CY, CZ	COSSENO DIRETORES DA BARRA	--
CRL(0)	LISTA DE RESTRIÇÕES CUMULATIVAS	--
D	ALTURA INTERNA DA SEÇÃO TRANSVERSAL DA BARRA	m
D()	DESLOCAMENTO DE NÓ DESCONHECIDO	m
E	MÓDULO DE ELASTICIDADE LONGITUDINAL	N/m ²
E1 A E6	IDENTIFICADOR PARA ARMAZENAMENTO TEMPORÁRIO DAS AÇÕES AM	--

G	MÓDULO DE ELASTICIDADE TRANSVERSAL	N/m ²
I	ÍNDICE DE BARRA	...
IXC()	CONSTANTE DE TORÇÃO	m ⁴
IY(), IZ()	MOMENTO DE INÉRCIA DA SEÇÃO	m ⁴
J	ÍNDICE DE NÓ	...
JL()	DESIGNAÇÃO DA EXTREMIDADE ESQUERDA DA BARRA	...
JK()	DESIGNAÇÃO DA EXTREMIDADE DIREITA DA BARRA	...
K	ÍNDICE DE NÓ	...
L()	COMPRIMENTO DA BARRA	m
M	NÚMERO DE BARRAS	...
MD(,)	MATRIZ DE RIGIDEZ DA BARRA	...
MR	IDENTIFICADOR PARA ARMAZENAMENTO TEMPORÁRIO DO PRODUTO SM x RT	...
M _x	MOMENTO ESTÁTICO DA ÁREA EM RELAÇÃO AO EIXO X	N.m
M _X , M _Y , M _Z	MOMENTO NA BARRA	N.m
M _{Xd} , M _{Yd} , M _{Zd}	MOMENTO NO DISCO	N.m
N	NÚMERO DE GRAUS DE LIBERDADE	...
NJ	NÚMERO DE NÓS	...
NL,J	NÚMERO DE NÓS COM CARGA	...
NLM	NÚMERO DE BARRAS COM CARGA	...
NR	NÚMERO DE RESTRIÇÕES DE APOIO	...
R	MATRIZ DE ROTAÇÃO	...
RJ	NÚMERO DE NÓS RESTRINGIDOS	...
RL()	LISTA DE RESTRIÇÃO DE NÓ	...
R _X , R _Y , R _Z	REAÇÕES NA BARRA	N
R _{Xd} , R _{Yd} , R _{Zd}	REAÇÕES NO DISCO NAS DIREÇÕES DOS EIXOS DA DA ESTRUTURA	...

$S_{(,)}$	MATRIZ DE RIGIDEZ DE NÓ (S _{jj})	...
$S_M(,)$	MATRIZ DE RIGIDEZ DA BARRA	...
TMC()	IDENTIFICADOR PARA ARMAZENAMENTO DE TENSÃO	...
TMAX	TENSÃO MÁXIMA NA BARRA	N/m ²
TY	TENSÃO DE CISALHAMENTO	N/m ²
TX	TENSÃO DE TRAÇÃO OU COMPRESSÃO	N/m ²
W	VOLUME DE MATERIAL NA BARRA	m ³
X(), Y(), Z()	COORDENADAS DO NÓ	m
XCL, YCL, ZCL	COMPONENTES DO COMPRIMENTO DA BARRA	m
X _M , Y _M , Z _M	EIXOS REFERENCIAIS DA BARRA	...
X _P , Y _P , Z _P	COORDENADAS X, Y E Z DO PONTO p	m
X _{PS} , Y _{PS} , Z _{PS}	COORDENADAS X _s , Y _s E Z _s DO PONTO p	m
Y _O , Z _O	COORDENADAS DO CENTRÓIDE	m
Y _M , Z _M	MOMENTO FLETOR	N.m
Y _{PG} , Z _{PG}	COORDENADAS Y _y E Z _y DO PONTO p	...

RESUMO

Adotou-se, para o desenvolvimento do presente trabalho, a estrutura portante de um arado de três discos, montado no sistema de engate hidráulico em três pontos de um trator agrícola. As secções transversais das barras são retangulares vazadas e de perfis leves dobrados à frio.

Foram implementados programas de cálculo estrutural, visando a determinação das ações nas extremidades das barras de pórticos espaciais, usando o método da rigidez para análise de estruturas reticulares e subprogramas para o cálculo das tensões máximas nas barras, para microcomputadores digitais a partir de 48 kbytes de memória randômica.

Através de testes previamente realizados, conclui-se que, quando a roda guia do arado perde sustentação lateral, provoca o tensionamento da corrente estabilizadora esquerda dos braços inferiores do engate de três pontos, gerando acréscimo generalizado de tensões na estrutura. Portanto, esta foi a condição de apoio adotada na análise da estrutura.

Estabeleceu-se, por regressão múltipla, equações de tensões estruturais máximas para as barras do arado, em função da largura e espessura da secção, podendo estas variáveis assumir três níveis de valores.

As equações geradas para facilitar o acesso ao cálculo estrutural pelo projetista de pequenas e médias empresas, podem ser resolvidas com o uso de calculadoras portáteis simples. Além disto, os programas montados para a pesquisa, podem ser usados, também, para a análise de estruturas de quaisquer outras máquinas cuja estrutura seja reticulada e na concepção de novas máquinas com estruturas não convencionais.

S U M M A R Y

A mounted moldboard plow was used to develop the proposed stress analysis methodology. Rectangular cross sectional bars of light gage cold formed steel were considered for the study.

A structural analysis computer program was written to calculate actions at the end of bars of a space frame, using the stiffness method. Subroutines were written to calculate maximum stresses in bars. All work was done in a microcomputer with 48 kbytes of random memory.

Some preliminary stress analysis indicated that the lack of lateral support for the rear furrow wheel of the plow develops a generalized stress increase all over the structure, as the left stabilizing chain of the three point hitch is tightened. This unfavorable support condition was considered for the analysis.

Multiple regression equations for maximum equivalent stress in each bar were obtained from data generated by conventional structural analysis.

Thickness of light gage steel and width of box type bars are the independent variables of the regression equations. The regression stress equations can be solved in conventional hand calculators. It allows better and quicker structural design for small manufacturers with no computer facilities.

CAPÍTULO 1

1.1. INTRODUÇÃO

O desenvolvimento de qualquer novo produto de uma fábrica de máquinas agrícolas requer o projeto com plantas geral e de detalhe dos componentes orgânicos do engenho, além do dimensionamento da estrutura, portanto, encarregada de suportar a combinação de tensões devidas a seus diversos conjuntos de órgãos e de manter suas posições relativas. A tolerância das medidas que estabelecem este posicionamento relativo depende das funções a que se destinam estes órgãos, sendo possível que deformações de poucos milímetros inviabilizem o aproveitamento de um conjunto de órgãos para uma máquina, especialmente se houver movimento relativo entre as partes. Todavia, deformações maiores, certamente, podem ser insignificantes ao desempenho de outras máquinas.

No entanto, o tratamento analítico clássico empregado para determinação de esforços e deformações em estruturas espaciais, hiperestáticas, através das equações convencionais da estática e da elasticidade, resultam extremamente complexas para serem utilizadas pelo projetista de máquinas das pequenas e médias empresas, dando a necessidade de computador para armazenamento e processamento dos dados, devido ao tamanho das matrizes envolvidas no processo. Fato esse que, por si só, constitui-se em forte entrave ao projeto.

Tornou-se, pois, prática usual estabelecer o dimensionamento da estrutura por sucessivas simplificações da estrutura real até ser possível lançar mão das simples fórmulas de vigas ou práticos planos isostáticos, conduzindo a resultados caracterizados por uma larga margem de incerteza, forçando o projetista a considerar grandes coeficientes de segurança, superdimensionando a estrutura; em função disto, torna-se imperiosa a construção de protótipos para ensaio de campo, onde a observação aliada à intuição aferida ao longo de anos de experiência, determinam as modificações a serem implementadas para corrigir as deficiências, decorrentes dos erros acumulados no projeto.....

Este procedimento, acarreta prejuízos à empresa que não vê como evitá-lo, pois concentra seus esforços em aperfeiçoar as características funcionais, dispensando atenções à estrutura somente na medida em que ela possa melhorar os parâmetros de eficiência operacional. Entretanto, existem outros fatores relevantes a serem considerados, sob pena do cometimento de sérios prejuízos técnicos e econômicos. É, pois, de domínio público que o uso de máquinas cujo peso não se faz necessário à melhoria da sua capacidade tracionária ou de penetração, deverá ser reduzido na medida do possível para evitar compactação do solo agrícola ou, no caso de implementos portados, aumentar o seu tamanho sem prejudicar o equilíbrio do conjunto trator-implemento, além da sempre desejada economia de combustível originada pela diminuição da resistência ao rolamento.

O fato do peso total da máquina ser um fator preponderante no estabelecimento do preço ao consumidor é prova incontestável

da insistência de dimensionamento tecnicamente criterioso da estrutura portante da máquina.

A análise de estruturas reticuladas convencionais de máquinas agrícolas, como grades, arados, semeadoras, colheitadoras e outras, permite o conhecimento preciso da distribuição de esforços em cada barra do conjunto, considerando as cargas específicas em função do trabalho a que se destina e das condições ambientais do local de operação permitindo, inclusive, que se estimule o desenvolvimento de máquinas de configuração não convencional.

Os dados de solicitação mecânica de máquinas agrícolas estão disponíveis nas muitas pesquisas publicadas, cada qual abordando as diversas variáveis do problema, não raro correlacionando tipo de máquina, condições do solo e parâmetros de operação.

Neste trabalho estudou-se um método simplificado para o dimensionamento de pórticos espaciais, em particular, de arados de três discos, através do estabelecimento de equações de tensões máximas nas barras da estrutura em função da largura e espessura da secção transversal, obtidas por regressão múltipla, podendo ser resolvidas usando uma calculadora portátil.

O manejo destas equações por projetistas que trabalham em fábricas de máquinas agrícolas, lhes ensejará um dimensionamento rápido e preciso, levando ao uso racional do material e conservando dentro de limites criteriosos os níveis de segurança necessários, considerando a variabilidade das cargas aplicadas ou a incerteza dos dados de carregamento disponíveis.

CAPÍTULO 2

2.1. OBJETIVOS

O objetivo do presente trabalho consiste em tornar mais acessível o método de análise de estruturas espaciais, que por sua complexidade e exigência, torna-se limitante ao projetista, mormente de pequenas e médias fábricas de máquinas, inviabilizando o dimensionamento mais criterioso das máquinas agrícolas. A consumação deste desiderado tornou-se possível devido às seguintes etapas:

- 2.1 - Implementar programas, em linguagem Basic, para microcomputadores digitais que permitam calcular as ações (AM) nas extremidades das barras, usando o Método da Rígidez para análise de estruturas reticulares.
- 2.2 - Adotar uma máquina de configuração estrutural tipicamente definida, estabelecer as variáveis estruturais que a caracterizam geometricamente e gerar um banco de dados das ações nos extremos das barras através do programa desenvolvido na etapa 2.1.
- 2.3 - Desenvolver e implementar um programa para microcomputador digital, em linguagem Basic, que propicie a determinação, a

partindo do banco de dados criado na etapa 2.2, das equações de tensões estruturais máximas.

2.4 - Verificar, otimizar e propor as equações geradas que permitem determinar as tensões máximas nas barras em função das variáveis geométricas da estrutura. Os parâmetros otimizados das equações serão gerados através de programa próprio para estimação de parâmetros em computador digital.

CAPÍTULO 3

3.1. REVISÃO BIBLIOGRÁFICA

No que concerne a cálculo estrutural de máquinas agrícolas a literatura científica é extremamente rara e muito limitada.

SERGEI TING [223], em 1975, desenvolveu alguns trabalhos em mecânica dos sólidos e estruturas usando o método numérico de Elementos Finitos, aplicados principalmente ao estudo da distribuição de tensões em chapas e peças de geometria irregular.

BEER & JOHNSTON [43], TIMOSHENKO & GODIER [243] e WILLEMS et alii [221] suprem os conhecimentos necessários para o dimensionamento de componentes estruturais, fornecendo as bases para o estudo da distribuição de tensões e mesmo para a determinação das tensões estruturais máximas, mas assumindo como conhecidos os valores dos esforços aplicados nas barras. Esta condição é fator limitante ao dimensionamento pois, geralmente, requer para estruturas especiais a solução de sistemas de elevado grau de hiperestaticidade.

3.4 Geometria da Seção

Segundo a Associação Brasileira de Normas Técnicas [13] em seu P-NB-143, dispensa-se a verificação da segurança à flambagem

lateral em barras com seção retangular vazada (figura 3.1.1) desde que a relação da distância entre os pontos de apoio lateral da barra para a distância entre as almas excede de 75.

RICARDO [1971] considera importante ponderar nos projetos que a seção aberta é muito menos rígida que a seção fechada correspondente e que na presença de torque, como nos arados, deve haver preferência definida para as seções fechadas. Por isto, adotou-se neste trabalho a seção apresentada na Figura 3.1.3.

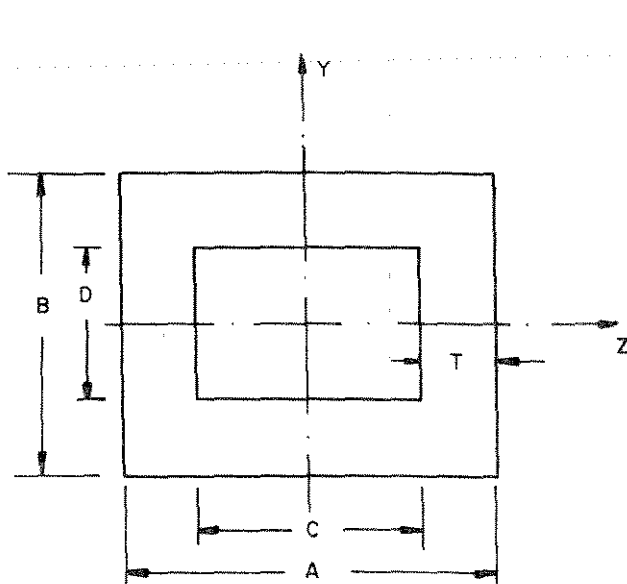


Figura 3.1.1 - Seção transversal das barras da estrutura.

O uso de chapas planas de aço, segundo WALKER [27], devindamente formatadas à frio, em seções que atendam as estrita exigências do projeto, é um passo importante na senda evolutiva da engenharia estrutural. O acréscimo na relação tensão admissível pelo peso do perfil não é a única vantagem em usar perfis de chapas dobradas à frio; segundo aquele autor, a esta somam-se as vantagens de disponibilidade imediata, menor custo, facilidade de

transporte e de manutenção. Desta forma os requerimentos de resistência e de funcionalidade podem ser especialmente atendidos para cada aplicação particular.

3.2 Torsão em Tubos de Paredes Delgadas

De acordo com TIMOSHENKO & GODTER [24], uma solução aproximada do problema de torção de tubos de paredes delgadas (δ) pode ser facilmente obtida pela utilização da analogia da membrana, de onde obtém-se:

$$Z = M_t / 2 \times AP \times T \quad \dots \dots \dots \quad (3.1)$$

em que AP representa a média das áreas delimitadas pelos contornos externos e internos da seção transversal do tubo, com espessura T e submetida a um momento torsor M_t .

3.3 Reações do Solo no Disco do Arado

Para BAITNER et alii [21] e RICKETY et alii [20], as principais forças verticais que atuam no arado são devidas ao seu peso próprio, à pressão descendente exercida durante a elevação do solo ao longo do disco para o volteio e posterior tombamento, e a uma componente ascendente devida ao engate situado acima do ponto de retenção.

As componentes transversais devidas à fricção do solo sobre o disco, ao translado da terra lateralmente à largura do sulco e ao efeito de corte, são as principais forças horizontais transversais.

Atuando longitudinalmente ao curso do arado, sobrejacem as componentes de resistência do solo frente à ação de corte pela borda externa do disco e do atrito do solo sobre o disco.

REED [18] listou os seguintes valores por unidade de tração para discos de 660 mm de diâmetro, operando a uma velocidade de 5,6 km/h, presumivelmente baseado em testes realizados no USDA Tillage Machinery Laboratory:

Solo Areoso = 4,9 = 3,0 psi

Solo Argiloparenoso = 6,0 = 0,5 psi.....

Solo Argilososo = 9,0 = 11,3 psi

RICKET et alii [20], afirmaram que a velocidade de deslocamento, é um importante fator no acréscimo das forças lateral e vertical porque afeta na distância de arremesso lateral da leiva e, consequentemente, no seu fracionamento. Todavia, com o aumento da inclinação vertical do disco, sua capacidade de penetração é diminuída com o acréscimo de velocidade.

GORDON [13] estudou, em laboratório, a dinâmica do disco utilizando dois solos de diferentes texturas. Nos ensaios conduzidos variaram as profundidades, os ângulos de regulagens, a geometria dos discos e as velocidades, tendo o autor concluído que o fator velocidade exerce uma influência significativa no aumento da componente longitudinal. Para o caso de um solo argiloparenoso SOUTA et alii [22] verificaram que o valor da força de tração de um disco aumenta 67 % quando a velocidade de deslocamento aumenta de 4 para 8 km/h.

As forças no disco se relacionam a um sistema de coordenadas do disco X_d , Y_d , Z_d , onde RX , RY , RZ são as forças e MX , MY e MZ , os momentos. CLYDE [10] determinou as seguintes reações em solo argiloso-siltoso, trabalhando a profundidade de 20 cm, largura de corte de 18 cm, velocidade de deslocamento de 4,8 km/h, ângulo de corte de 40 graus e ângulo vertical de 18 graus (Figura 3.3.1)

$$RX = 2040 \text{ N}$$

$$RY = -610 \text{ N}$$

$$RZ = 1000 \text{ N}$$

$$MX = 33,34 \text{ N.m}$$

$$MY = 193,04 \text{ N.m}$$

$$MZ = 357,20 \text{ N.m}$$

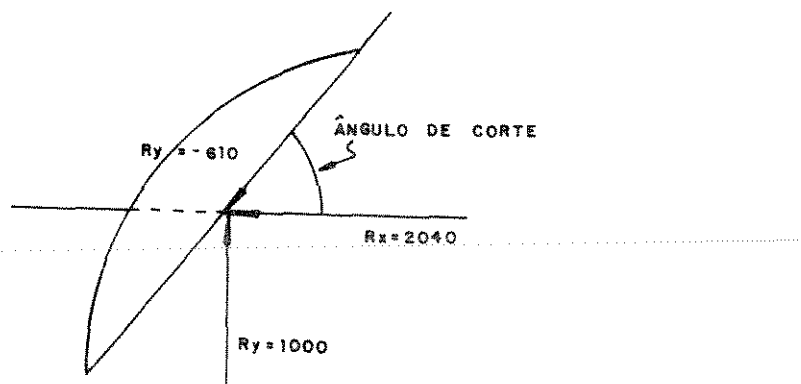


Fig. 3.3.1 - Forças exercidas pelo solo sobre o disco do arado.

Usandose um disco de 660 mm e trabalhando-se com uma folga de 120 mm para facilitar o tombamento da leiva sem roçar o chassi do arado, ter-se-á o braço da coluna de sustentação do disco com 450 mm (Figura 3.3.2).

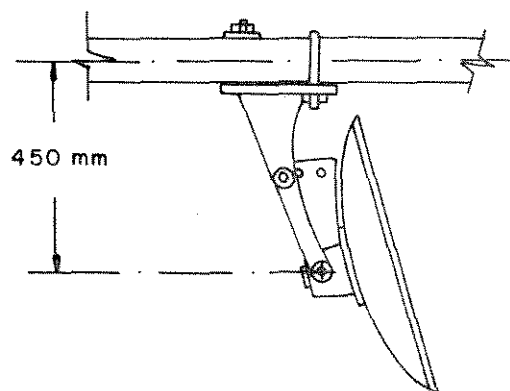


Fig. 3.3.2 - Coluna de sustentação do disco à estrutura do arado.

Considerando-se a altura da coluna de sustentação do disco, os esforços resultantes sobre a estrutura são:

nos nós, em relação às coordenadas da estrutura (Figura 3.3.3)

$$R_X = 2040 \text{ N}$$

$$M_X = -416,70 \text{ N.m}$$

$$R_Y = -610 \text{ N}$$

$$M_Y = 193,00 \text{ N.m}$$

$$R_Z = 1000 \text{ N}$$

$$M_Z = 1275,20 \text{ N.m}$$

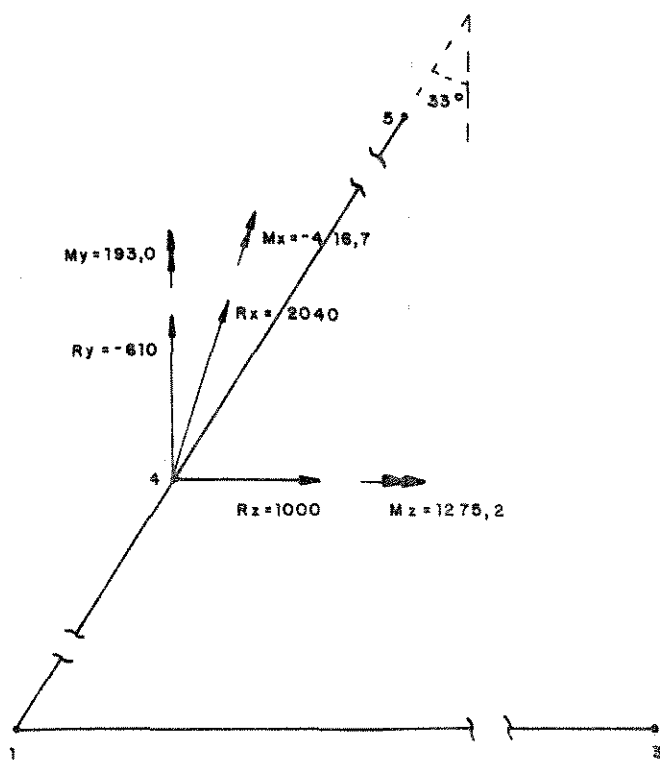


Figura 3.3.3 - Esforços resultantes sobre os nós 4 e 5 da estrutura do arado devidos às reações do solo.

• na barra 4, em relação aos eixos da barra (Figura 3.3.4).

$$Rx = 1710 \text{ N}$$

$$Ry = -610 \text{ N}$$

$$Rz = 840 \text{ N}$$

$$Mx = -348,45 \text{ N.m}$$

$$My = -193,00 \text{ N.m}$$

$$Mz = 1066,40 \text{ N.m}$$

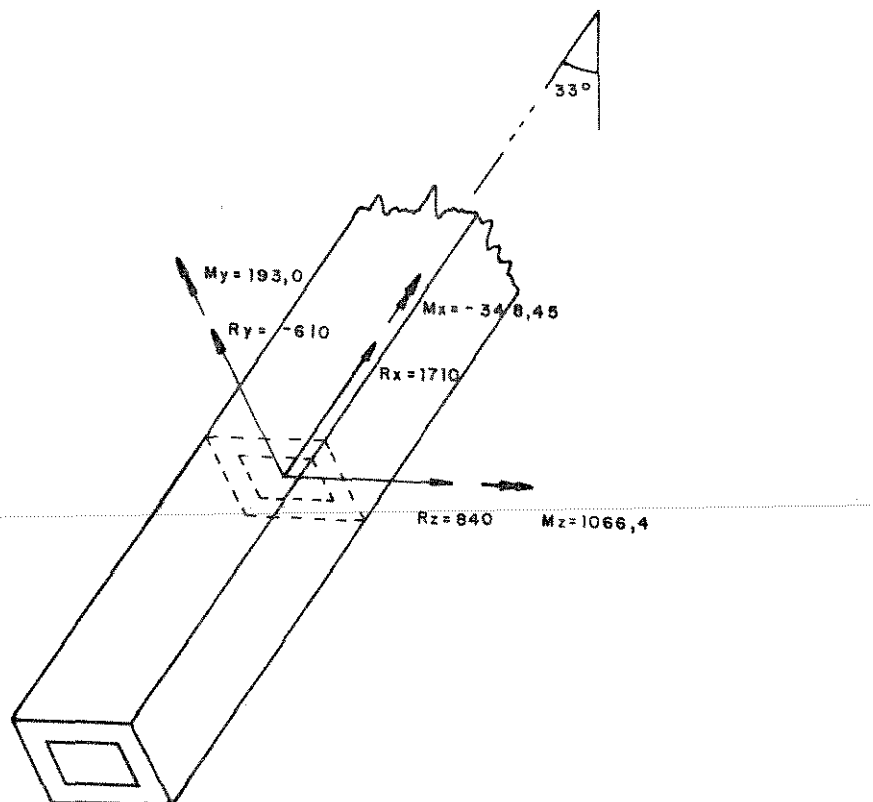


Figura 3.3.4 - Esforços resultantes sobre a barra 4 da estrutura do arado devidos às reações do solo.

Como cada conjunto que compõe o conjunto formado pelo disco, mancal e coluna pesa 400 N tem-se, então, os seguintes esforços resultantes:

• na barra 3 e 5, em relação as coordenadas da estrutura;

$$Rx = 2046 \text{ N}$$

$$Mx = 33,34 \text{ N.m}$$

$$Ry = 4040 \text{ N}$$

$$My = 193,04 \text{ N.m}$$

$$Rz = 4000 \text{ N}$$

$$Mz = 357,20 \text{ N.m}$$

- na barra A, em relação às coordenadas da barra;

$$\begin{array}{ll} RX = 3716 \text{ N} & MX = -348,45 \text{ N.m} \\ RY = -1040 \text{ N} & MY = 193,00 \text{ N.m} \\ RZ = 040 \text{ N} & MZ = 1066,40 \text{ N.m} \end{array}$$

Os testes de GORDON [13] com discos de arado de 660 mm de diâmetro, apuraram que as forças de tração são menores para profundidades de 455 mm, concluindo que a profundidade ideal, para discos convencionais, situar-se próxima a 1/4 do diâmetro.

3.4 Largura de Trabalho dos Discos

Segundo BERNACK et alii [6] e CANAVATE [8], a largura de corte correspondente a cada disco oscila em função do ângulo formado entre o plano do disco e a direção de deslocamento, do ângulo de corte, da profundidade de corte e do diâmetro do disco. Para disco de 660 mm, aquela largura situa-se entre 180 e 300 mm.

Sendo γ o ângulo, medido no centro do disco, que abarca a superfície de trabalho, definida por um segmento circular, resulta a equação:

$$S = D^2 \times \theta \times (3,14\gamma / 180 + \operatorname{SEN} \gamma) \quad (3.2)$$

onde S é a superfície do segmento do disco que efetivamente trabalha.

No entanto, a profundidade máxima de trabalho (P) é definida pela equação:

$$P = D \times 2\pi \times \cos \theta \quad (3.3)$$

A partir da qual, também, pode-se calcular a superfície de trabalho (S) pela equações:

$$S = \theta \times S \times D^2 \quad (3.4)$$

3.5 Distância entre os Discos

Em um arado de discos múltiplos, segundo BERNACK et alii (6) e CANUATE (8), a distância (t) entre dois discos sucessivos deve ser calculada para que os discos não cheguem a ser travados pela lama. O espaçamento t , perpendicular aos discos, depende da profundidade de corte (a) ou da altura da crista do sulco(c). Em função da segunda dependência tem-se:

$$Dc \times \sin \theta = t \times \cos \theta \quad (3.5)$$

da equação (3.5) conclui-se que,

$$Dt = 2V \times c \times (D - c) \quad (3.6)$$

resultando na equação,

$$t = 2V \times c \times (D - c) \operatorname{tg} \theta \quad (3.7)$$

Para garantir o melhor desempenho deve-se manter α_0 igual a $0,3 \pm 0,1$.

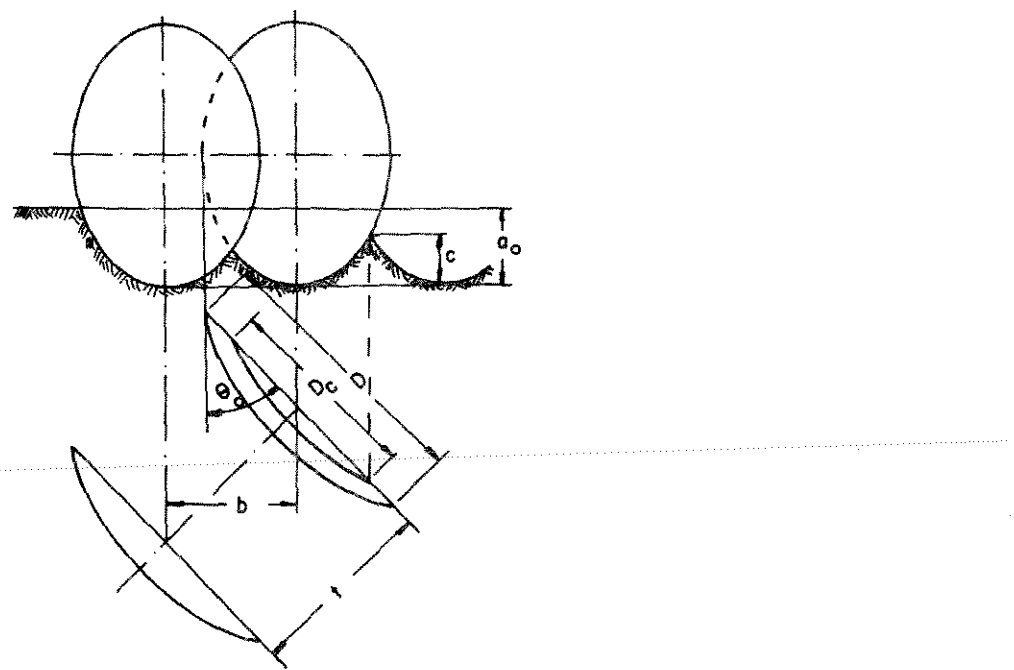


Figura 3.5.1 - Distância c entre os discos do arado.

3.5. Altura da Torre

A altura da torre (H) no arado é, de acordo com BARGER et alii (1983), um dos fatores essenciais no estabelecimento do ponto de engate virtual do sistema de braços livres, no sensor da torre para o sistema sensível à tração, nas cargas sobre a articulação e pontos de engate, nas variações da inclinação do implemento correspondentes às variações na profundidade de trabalho, nas variações da inclinação do implemento quando este se acha na posição de transporte, no ângulo do implemento em relação ao trator

especialmente na posição de transporte e, nesta posição, no vão dos braços em relação ao implemento ou ao trator.

Alguns tratores da categoria II são projetados para adimir uma altura de torre de 560 mm como a ideal para o melhor desempenho.

Em 1969, a ABNT publicou o projeto de norma P-PB-84, que estabelece as dimensões padronizadas do sistema de engate e acoplamento, para as categorias I e II, conforme as cotas indicadas na Figura 3.6.4 e os valores sumarizados na Tabela 3.6.4 e expressos em milímetros.

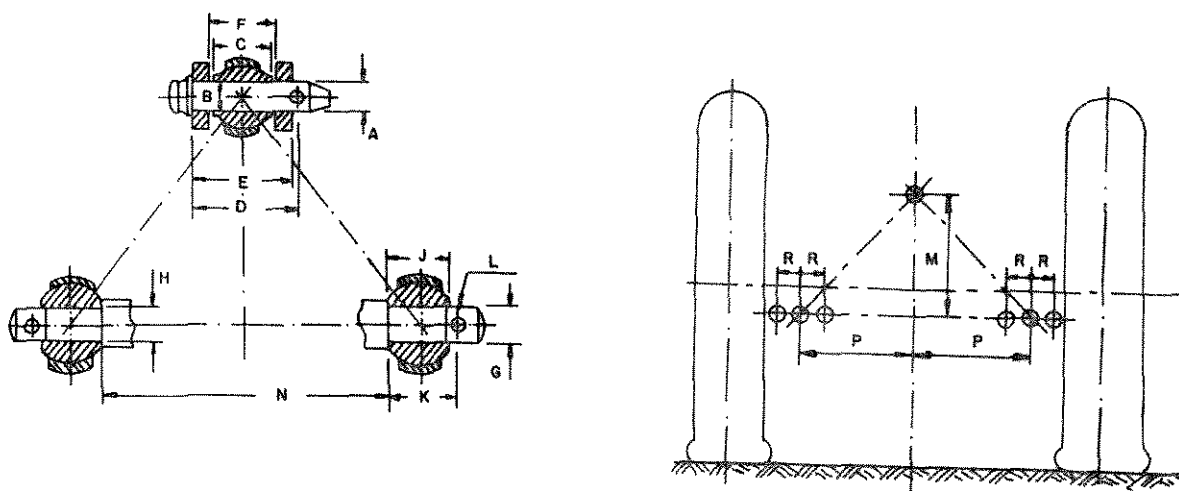


Figura 3.6.4 - Dimensões padronizadas do engate de três pontos.

Cotas	Designações	Categ. I	Categ. II
A	diam. dos pinos de engate	18,9	19,0
B	diam. dos furos p/ os pinos	19,3	19,5
C	Targura da rótula	—	44,0
D	distância do furo do pino	76,0	—
E	" entre faces ext. da torre	—	69,0
F	" entre faces int. da torre	45,5	—
G	diam. dos pontos de engate	24,8	22,0
H	diam. dos orifícios p/ os pinos	22,4	22,7
I	Targura da rótula	34,8	35,0
K	distância dos furos dos pinos	39,0	—
L	diam. do furo comum p/ os pinos de eng. superiores e inferiores	11,7	12,2
M	altura da torre	460,0	—
N	distância entre os ressaltos de apoio dos pts de eng. infer.	503,0	—
P	distância do ponto de engate in- ferior ao plano médio do trator	359,0	—
R	deslocamento lateral dos pontos de engate inferiores	100,0	—
S		—	45,0
T	distância do extremo da TDP ao centro dos pts de eng. infer.	500,0	575,0
X	distância entre implam. e trator	63,5	—

Tabela D.5 - Dimensões padronizadas do engate de três pontos.

GERE & WEAVER (1971) ponderam que um dos objetivos de qualquer análise estrutural é determinar várias ações pertencentes à estrutura, como as reações nos apoios e os esforços internos resultantes e que uma solução correta para quaisquer destas qualidades deve enfatizar todas as condições de equilíbrio estático, não só para toda a estrutura, como também para qualquer parte dela tomada como um corpo livre. Além do que, é indispensável que sejam satisfeitas todas as condições de compatibilidade.

Uma ação é mais comumente uma simples força ou um binário, mas também pode ser uma combinação de forças e binários, uma carga distribuída ou uma combinação destas ações. Além das ações externas à estrutura, é necessário considerar também as ações internas, que são as resultantes das distribuições de tensões internas e incluem momentos fletores e torsóres, forças cortantes e forças axiais. Os deslocamentos de "nós" que, geralmente, referem-se a uma translação ou rotação em algum ponto da estrutura, têm um papel preponderante na análise de estruturas reticulares.

Quando uma estrutura está solicitada por um carregamento, suas barras sofrem deformações e, como consequência, pontos dentro da estrutura deslocam-se para novas posições. No geral, todos os pontos da estrutura, exceto os pontos de apoio fixos, sofrerão deslocamentos. As deformações podem ser analisadas tomando-se separadamente cada resultante do esforço e determinando seu efeito sobre um elemento da barra, tomado entre duas secções transversais

separando-se por um ângulo de uma pequena distância (α). Em qualquer seção da barra haverá resultantes de esforços que, em porticos espaciais, consistem de três forças e três binários, conforme ilustrado na Figura 4.9.1.

3.8 Método de Superfície de Resposta

BOX et alii [7] afirmam que o método de superfície de resposta tem sido largamente usado desde antes de 1950, para as mais variadas aplicações estatísticas, como por exemplo, engenharia agrícola, química e mecânica, que HILL & HUNTER, em 1966, e MEAD & PIKE, em 1975, fizeram uso deste método em muitos trabalhos e que MEYER, em 1963, empregou o em psicologia.

CAPÍTULO 4

4. MATERIAL E MÉTODOS

O desenvolvimento alcançado na área da informática popularizou o uso de computadores digitais, ensejando uma reorganização da teoria estrutural sob a forma matricial, tornando possível um tratamento unificado para estruturas de todos os tipos. Dos métodos propostos, o da rigidez é o mais usado, por ser sistematizado e não exigir encaminhamento subjetivo permitindo, portanto, o emprego de computador.

Por representar uma grande fatia do parque fabril de máquinas agrícolas, o presente estudo foi desenvolvido baseado na estrutura típica do arado de três discos, portado no sistema de engate em três pontos de um trator agrícola, considerando que sua configuração espacial está suficientemente definida ou quase padronizada, de forma que seus componentes (barras) de maior responsabilidade na transferência de cargas do implemento ao solo ou ao sistema de engate, podem ser orientados espacialmente sem maiores ambiguidades (Figura 4.1.1).

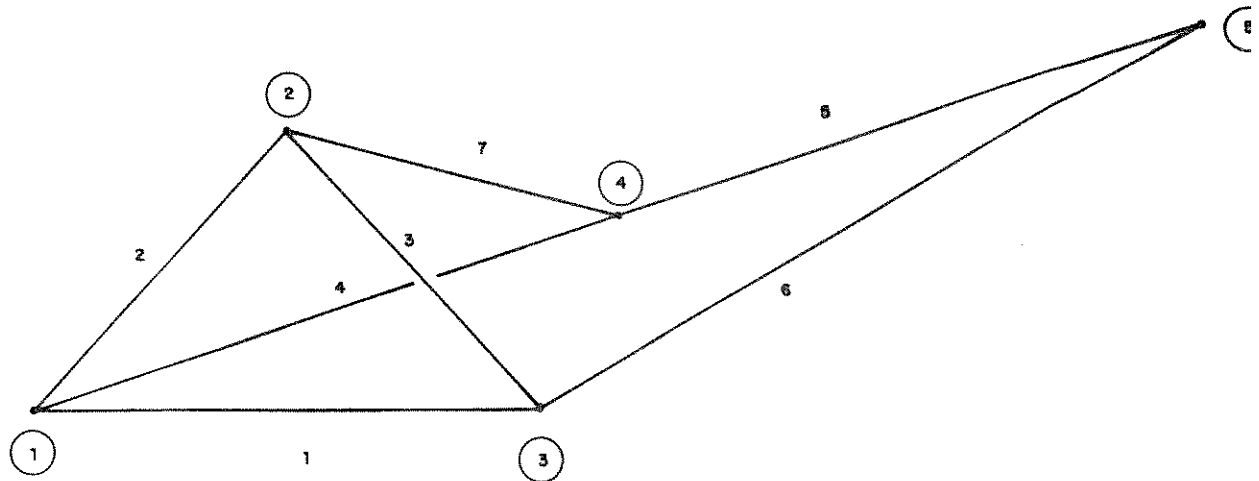
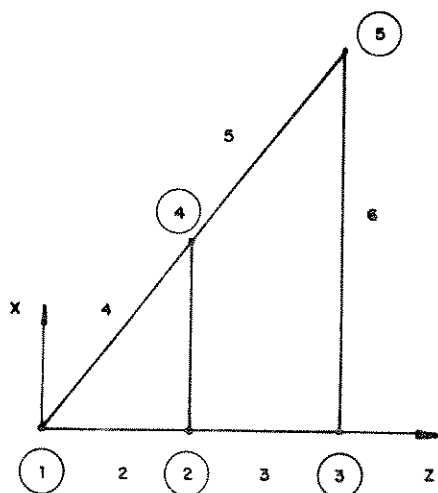


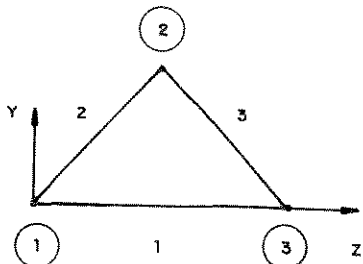
Figura 4.1.1 - Estrutura portante do arado de três discos.

4.1 Sistemas de Eixos Referenciais

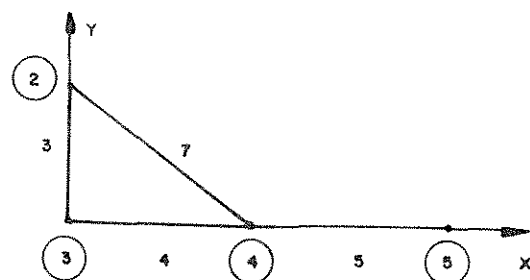
Os sistemas de referências são indispensáveis na análise estrutural para definir ações, deslocamentos e relações ações-deslocamentos em termos de dois conjuntos de eixos ordenados ortogonalmente. O primeiro conjunto é o da estrutura e consiste em um sistema de coordenadas simples, X_s, Y_s e Z_s (Figura 4.1.2). O segundo conjunto é o das barras e consiste em um sistema de coordenadas para cada barra.



a) Vista superior



b) Vista frontal



c) Vista lateral

Figura 4.1.a.2 - Vistas principais da estrutura espacial do arado.

Tendose em consideração que os resultados de qualquer análise estrutural, como as ações, os deslocamentos e as reações, precisam ser expressos em relação às respectivas coordenadas da barra, para permitir seu posterior dimensionamento, verifica-se que o maior problema na análise de qualquer tipo de estrutura, da viga ao pórtico espacial, é a transferência de informações entre o sistema de coordenadas da estrutura e os sistemas de coordenadas das barras que a constituem. Nos pórticos espaciais esta transferência é consumada pelo emprego de matrizes de rotação R através dos cosenos diretores CX, CY e CZ.

4.2 Microcomputador

O tamanho das matrizes envolvidas no cálculo requer o uso de computador para armazenamento e processamento dos conjuntos de dados. Dois microcomputadores, com diferenciações na linguagem Basic residente, ambos com 48 Kbytes de memória central para leitura e escrita (RAM) foram utilizados para elaboração dos dados

necessários ao desenvolvimento das equações de tensões máximas.

Foram desenvolvidos, com este propósito, programas genéricos para pórticos espaciais reticulares que, também, podem ser usados para quaisquer dos demais cinco tipos de estruturas reticulares, a saber, vigas, grelhas, treliças planas e espaciais e pórticos planos.

O programa, listado no Apêndice A, e os subprogramas, listados nos Apêndices B a J, traduzidos para a linguagem Basic, podem ser processados por microcomputadores Apple e compatíveis com pequenas alterações também servem aos microcomputadores TRS e compatíveis. Não foram agregados a esta publicação, o programa e os subprogramas desenvolvidos para os micro da família TRS por serem resultantes de simples adaptações dos primeiros, para atenderem ao "hardware" do equipamento supracitado.

4.3 Elemento Estrutural

Como elemento estrutural foram consideradas barras de chapa de aço dobrada, devido ao baixo custo relativo e a possibilidade de dispor de seções compatíveis com a necessidade decorrente do cálculo, evitando a dependência dos perfis laminado disponíveis no mercado que, além de mais caros, levam à inviabilidade da consumação precisa do projeto.

As principais propriedades mecânicas das chapas de aço utilizadas no projeto são:

Módulo de elasticidade longitudinal (E) = $2,4 \times 10^{11}$ N/m²

Módulo de elasticidade transversal (G) = $8,05 \times 10^{10}$ N/m²

Peso específico (P.E) = $7,8 \times 10^{-4}$ N/m²

4.4 Registro de Dados

Os dados transitórios foram registrados em monitor de TV, enquanto que os resultados definitivos foram registrados em papel apropriado de 80 colunas, por uma impressora Mônica ET6010.

4.5 Gravação de Dados

Os programas e as informações deles decorrentes foram gravados em disquetes ("floppy-disk"), de 5 1/4" com capacidade de 496 setores e cada setor podendo armazenar até 256 bytes de informação.

O emprego de disquete como meio de gravação de informações, permite uma maior velocidade de acesso, mas requer o uso da unidade de disco ("drive-disk"), para acessar informações contidas no disquete.

Fazem parte da unidade de disco usada os itens relacionados abaixo:

- dois disk drive, simples face
- uma interface DII
- dois cabos plano, conectados aos disk drive
- três disquetes, dupla densidade

4.6 Método da Rígidez

Na formulação matemática do método da rigidez, as equações fundamentais são deduzidas utilizando o Princípio da Superposição de Efeitos, onde as incógnitas são os deslocamentos dos nós da estrutura.

4.6.1 Princípio da Superposição de Efeitos

O princípio da superposição de efeitos constitui-se em um dos mais importantes conceitos da análise estrutural e pode ser usado sempre que existam relações lineares entre as ações e os deslocamentos. Ele estabelece que os efeitos produzidos por várias causas podem ser obtidos combinando os efeitos devidos às causas individuais. Isto ocorre sempre que se satisfaça os seguintes requisitos:

a - o material da estrutura obedeça à Lei de Hooke, ou seja, que o material seja perfeitamente elástico e, portanto, apresente relação linear entre o esforço e a deformação.

b - os deslocamentos da estrutura sejam pequenos, propiciando a que todos cálculos envolvendo as dimensões totais da estrutura possam ser baseados nas suas dimensões originais.

4.6.2 Etapas do Método da Rígidez

O método da rigidez envolve o uso extensivo de ações e deslocamentos em barras com extremidades engastadas e por esta razão far-se-á uso do material apresentado no Apêndice N.

O método da rigidez, empregado na análise de uma estrutura é muito geral e pode ser aplicado à resolução de qualquer tipo de estrutura reticulada, consistindo nas seguintes etapas:

a- Enunciar o problema descrevendo a estrutura, as cargas, variações de temperatura, deformações iniciais, e deslocamento de apoios. A descrição da estrutura inclui o tipo de estrutura, a

localização dos nós, posições e dimensões das barras, localizações e tipos de apoios, além do material empregado.

b- Restringir a estrutura através de engastamentos correspondentes ao número de graus de liberdade a fim de produzir a estrutura restrinvida, na qual todos os deslocamentos sejam zero. Existirá, sempre, uma única estrutura restrinvida possível e sua determinação é, portanto, óbvia.

c- Análise da estrutura restrinvida submetida às cargas. Todas as cargas, exceto aquelas que correspondem a um deslocamento de nó desconhecido, são consideradas como aplicadas à estrutura fixa, sendo avaliadas as várias ações na estrutura. As ações ADL correspondentes aos deslocamentos são determinadas. As outras ações de interesse são as ações de extremidade AML para as barras e a reações ARL nos apoios. Todas estas ações podem ser encontradas com o auxílio das equações de ações de engastamento apresentadas no Apêndice N.

d - Análise da estrutura restrinuida para outras causas. Se houverem variações de temperatura, pretensões ou deslocamentos de apoios a serem incluídos na análise, seus efeitos devem ser avaliados na estrutura restrinuida. As ações a serem encontradas são as que correspondem aos deslocamentos desconhecidos (ADT, ADP, ADR), as ações de extremidade de barra (AMT, AMP, AMR) e as reações (ART, ARP, ARR), as quais podem ser encontradas com a ajuda das equações supracitadas.

e - Análise da estrutura restrinuida para valores unitários dos deslocamentos, onde são determinadas várias ações na estrutura restrinuida devidas a valores unitários dos deslocamentos de nó desconhecidos. As ações mais importantes a serem encontradas são as que correspondem aos deslocamentos desconhecidos (coeficientes de rigidez S). As outras a serem avaliadas são as ações na extremidade das barras e as reações nos apoios (AMD e ARD).

f - Determinação de deslocamentos. A equação de superposição para as ações AD correspondentes aos deslocamentos na estrutura resulta tem a seguinte expressão:

$$AD = ADS + S \times D \quad (4.1)$$

Nesta equação, o vetor ADS inclui os efeitos de cargas, variações de temperatura, pretensões e deslocamentos de apoios.

$$ADS = ADL + ADT + ADR \quad (4.2)$$

Quando se resolve a equação (4.1) em função dos deslocamentos, obtém-se a expressão seguinte:

$$D = S^{-1} (AD - ADS) \quad (4.3)$$

g- Determinação das ações nas extremidades das barras e reações nos apoios. Os vetores AM e AR para as ações de extremidade da barra e as reações, respectivamente, são obtidos das seguintes equações de superposição:

$$AM = AMS + AMD \times D \quad (4.4)$$

$$AR = ARS + ARD \times D \quad (4.5)$$

Nestas equações, os vetores AMS e ARS representam ações na estrutura restringida devidas a todas as causas, de tal modo que

$$AMS = AML + AMT + AMP + AMR \quad (4.6)$$

$$ARS = ARL + ART + ARP + ARR \quad (4.7)$$

Quando os vetores D , AM e AR tiverem sido obtidos, pode-se iniciar o cálculo de tensões máximas em cada barra, em conformidade com BEER & JOHNSTON [4], ODEN [17] e TIMOSHENKO & GODIER [24], buscando introduzir as mudanças de secções necessárias até atingir os níveis de tensões adotados ou especificados pelo fabricante do material.

4.7 Análise do Pórtico Espacial

O cálculo estrutural descrito no presente trabalho realiza a análise do pórtico espacial em conformidade com técnicas matriciais para análise estrutural desenvolvidas por GERE & WEAVER [12], VANDERBILT [26] e WEAVER [28].

Usualmente faz-se necessário, na análise estrutural, tratar com ações e deslocamentos que se correspondam uns aos outros, isto é, de tipos análogos e que estejam localizadas no mesmo ponto da estrutura.

4.7.1 Grau de Indeterminação Cinemática

No método da rigidez os deslocamentos nodais da estrutura são as incógnitas primárias sendo, portanto, importante avaliar a indeterminação cinemática N , que constitui-se em possíveis deslocamentos nodais quando a estrutura está submetida à cargas:

$$N = 6 \times NJ - NR \quad (4.10)$$

onde: NJ é o número de nós da estrutura

NR é o número de restrições da estrutura

Portanto, o grau de indeterminação cinemática da estrutura explicita o número de incógnitas a serem levantadas na análise estrutural.

4.7.2 Propriedades da Estrutura

O pórtico espacial formado pela estrutura portante do arado em questão (Figura 4.1.1) atende às seguintes especificações:

Número de barras (M) = 7

Número de nós (N_J) = 5

Número de restrições (NR) = 6

Número de nós restritos (R_J) = 3

Iterativamente são introduzidas as coordenadas dos nós, $X()$, $Y()$ e $Z()$, em relação ao sistema de referência anteriormente estabelecido para a estrutura (Tabela 4.7.1):

Nó (J)	X (J)	Y (J)	Z (J)
1	0	0	0
2	0	46	41,3
3	0	0	82,6
4	63	0	41,3
5	126	0	82,6

Tab. 4.7.1 - Coordenadas dos nós da estrutura do arado.

A partir dos dados de entrada determinam-se as propriedades físicas da seção, tais como a área $A_X()$, os momentos de inér-

cia $IY()$ e $IZ()$, o momento torsor $IX()$, além dos comprimentos das barras $L()$ e seus cosenos diretores:

$$\begin{aligned} AX(I) &= A \times B - C \times D \\ IY(I) &= B \times A^3 - D \times C^3 / 12 \\ IZ(I) &= A \times B^3 - C \times D^3 / 12 \end{aligned} \quad (4.9)$$

$$IX(I) = 2 \times (A + T)^2 \times (B + T)^2 \times T / A + B + 2 \times T$$

$$L(I) = (XCL^2 + YCL^2 + ZCL^2)^{0.5}$$

$$XCL = X(JK(I)) - X(JJ(I))$$

$$YCL = Y(JK(I)) - Y(JJ(I))$$

$$ZCL = Z(JK(I)) - Z(JJ(I))$$

$$CY = YCL / L(I)$$

$$CX = XCL / L(I)$$

$$CZ = ZCL / L(I)$$

Os posicionamentos das barras da estrutura no espaço são definidos pela orientação estabelecida para suas extremidades JJ e JK. A Tabela 4.7.2 resume a orientação estabelecida para cada barra, bem como registra o valor do indicador AA utilizado para definir o ângulo de rotação (alfa) que indica se os eixos principais de inércia da barra estão ou não inclinados em relação às coordenadas Y-Z da barra.

Barra	JJ	JK	AA
1	1	3	0
2	1	2	0
3	2	3	0
4	1	4	0
5	4	5	0
6	3	5	0
7	2	4	0

Tab. 4.7.2 Orientação das barras.

Os dados de entrada, pertinentes à estrutura, requeridos para o cálculo, estão resumidos na Tabela 4.7.3.

Dados da estrutura	Número de casos	ítems Necessários
Parâmetros considerados	1	M NJ NR RJ E G PE
Coordenadas dos nós	NJ	J XEIJ YCJZ ZEIJ
Designação e orientação da barra	M	I JJIE JKIE AA
Lista de restrições de nó	RJ	K RLE6K-5J RLE6K-4J RLE6K-3J RLE6K-2J RLE6K-1J RLE6KJ

Tabela 4.7.3 - Dados de entrada relativos à estrutura e ao material considerado no projeto.

4.7.3 Matriz de Rotação

O fato de que cada nó tem seis possíveis deslocamentos confere à estrutura uma natureza de grande complexidade, tornando necessário a utilização de transformação de coordenadas pelo cálculo matricial, visando homogeneizar as matrizes de rigidez de cada barra para poderem ser somadas numa única matriz global de rigidez da estrutura.

A matriz de rotação R de cada barra é formada pelos cosenos diretores da barra e sua forma, portanto, depende da orientação particular dos eixos da barra.

Na estrutura em estudo, as barras estão orientadas de modo que os eixos principais da seção transversal existam nos planos horizontal e vertical. De modo que pode-se afirmar que a matriz de rotação é assim expressa:

$$R = \begin{vmatrix} CX & CY & CZ \\ -CYCZ / (CX^2+CZ^2) & (CX^2+CZ^2) & -CYCZ / (CX^2+CZ^2) \\ -CZ / (CX^2+CZ^2) & 0 & CX / (CX^2+CZ^2) \end{vmatrix} \quad (4.10)$$

Esta matriz de rotação é válida para todas as posições da barra, exceto quando esta for vertical.

A matriz de transformação de rotação para ações de deslocamentos nas extremidades das barras dos pórticos espaciais (RT) é composta por uma matriz constituída pelas matrizes de rotação, conforme equação (4.11).

$$RT = \begin{vmatrix} R & 0 & 0 & 0 \\ 0 & R & 0 & 0 \\ 0 & 0 & R & 0 \\ 0 & 0 & 0 & R \end{vmatrix} \quad (4.11)$$

A aplicação dos conceitos de rotação de eixos, no método da rigidez, não se limita à transformação da matriz de rigidez das barras para os eixos da estrutura. São utilizados, também, na formação do vetor de cargas equivalentes AE dos elementos da matriz AML e no cálculo das ações finais nas extremidades da barra AM que consiste na superposição das ações iniciais na barra com os efeitos dos deslocamentos nodais.

As informações sobre as séries de restrições de nó são indicadas pelo número do nó K e os seis números codificados que se referem às condições de restrição neste nó. Quando houver restrição, por convenção, o valor de RL é igual a 1 e se não existir restrição é atribuído a ele o valor zero. Os termos RL(6K-5) a RL(6k) indicam as restrições contra as translações e rotações nas direções de X, Y e Z no nó K.

Foram desenvolvidos testes, considerando as mesmas condições de carga e de geometria para a estrutura do arado (Tabelas 4.7.4 a 4.7.6) para avaliar três condições de operação com o propósito de determinar a situação em que a estrutura é mais solicitada para, então, adotá-la como condição de projeto.

Na estrutura do arado, os nós 1, 2 e 3 (Fig. 4.1.1) constituem-se nos pontos de acoplamento ao sistema de engate de três pontos do trator que, portanto, lhes impõe algumas restrições. Por outro lado, o nó 4 estará sempre livre e o nó 5, enquanto tiver apoio na roda guia, também impõe restrições. Portanto, ocorrem as seguintes condições de restrições para as situações consideradas:

A Operação normal, admitida para efeito de comparação como teste numha. Considera que o arado está devidamente regulado e operando em condições normais de funcionamento e de solo. As restrições que ocorrem nesta situação estão apresentadas na Tabela 4.7.4.

Nós 4 e 3 restrições a deslocamentos nas direções X e Y devidas aos braços inferiores do sistema de engate do trator. Na direção Z não ocorrem restrições, pois ficam afrouxadas as correntes estabilizadoras, cabendo à roda guia suportar os esforços laterais.

Nó 2 - restrição somente na direção X, devida ao braço do terceiro ponto.

Nó 5 - restrições nas direções Y e Z, livre ao deslocamento na direção longitudinal e restrito de girar na direção Y.

Nó(K)	RL(6K-5)	RL(6K-4)	RL(6K-3)	RL(6K-2)	RL(6K-1)	RL(6K)
1	1	1	0	0	0	0
2	1	0	0	0	0	0
3	1	1	0	0	0	0
4	0	0	0	0	0	0
5	0	1	1	0	1	0

Tabela 4.7.4 - Condições de restrições para o arado em operação normal.

B - Operação sem apoio na roda guia, situação esta que pode ocorrer, mesmo que eventualmente, pelo afrouxamento do parafuso de fixação da roda guia ou pela perda transitória da sustentação

lateral ou vertical, o que provocará excessiva folga na corrente estabilizadora esquerda e tensionamento na direita. As restrições verificadas nesta situação estão listadas na Tabela 4.7.5.

Nós 4 e 5 - não apresentam restrições a deslocamento nem a giro em qualquer das direções.

Nó(K)	RL(6K-5)	RL(6K-4)	RL(6K-3)	RL(6K-2)	RL(6K-1)	RL(6K)
1	1	1	1	0	0	0
2	1	0	0	0	0	0
3	1	1	0	0	0	0
4	0	0	0	0	0	0
5	0	0	0	0	0	0

Tabela 4.7.5 - Condições de restrições para o arado operando sem roda guia, com as correntes estabilizadora direita tensionada e esquerda afrouxada.

C - idem ao item B, com a corrente estabilizadora esquerda sendo tensionada e a direita afrouxada. Ocasão em que verificam-se as restrições apresentadas na Tabela 4.7.6.

Nós 4 e 5 - Não apresentarão restrições a deslocamento nem a rotação.

Nó(K)	RL(6K-5)	RL(6K-4)	RL(6K-3)	RL(6K-2)	RL(6K-1)	RL(6K)
i	1	1	0	0	0	0
2	1	0	0	0	0	0
3	1	1	1	0	0	0
4	0	0	0	0	0	0
5	0	0	0	0	0	0

Tabela 4.7.6 - Condições de restrições para o arado operando sem roda guia, com as correntes estabilizadora direita afrouxada e esquerda tensionada.

Os testes realizados permitiram constatar que, em qualquer das duas situações, eventuais e pressupostas, as barras da estrutura têm suas tensões significativamente maiores que as verificadas na situação normal ou testemunha. Dentre as quais constatou-se que a diferença, embora exista, é pequena, com as tensões ligeiramente maiores na situação C, apresentada na Tabela 4.7.6.

Uma vez determinadas as condições de restrições da estrutura, calcular-se a lista de restrições acumulativas CRL, que consiste nas somas cumulativas dos números na lista de restrição RL, sendo que o primeiro elemento de CRL é sempre igual ao primeiro elemento de RL, e o último elemento de CRL é numericamente igual ao número total de restrições NR. Em uma instrução de controle iterativo, calculam-se em sequência todos os outros elementos de CRL.

4.7.5 Matriz de Rígidez da Estrutura

A matriz de rigidez é um quadro de valores que está determinado não só pela natureza da estrutura mas também se relaciona diretamente com o conjunto de ações e deslocamentos ora em consideração. Sua determinação pode ser obtida com o auxílio da matriz de rigidez da barra de pórtico espacial apresentada no Apêndice L.

Estabelece-se uma instrução de controle iterativo em função das barras, para M barras. Os seis possíveis deslocamentos para o nó da esquerda J (J_1 a J_6) e para o nó da direita K (K_1 a K_6) da barra I são indexados de acordo com o sistema de numeração das barras, conforme ilustrado na Figura 4.7.1.

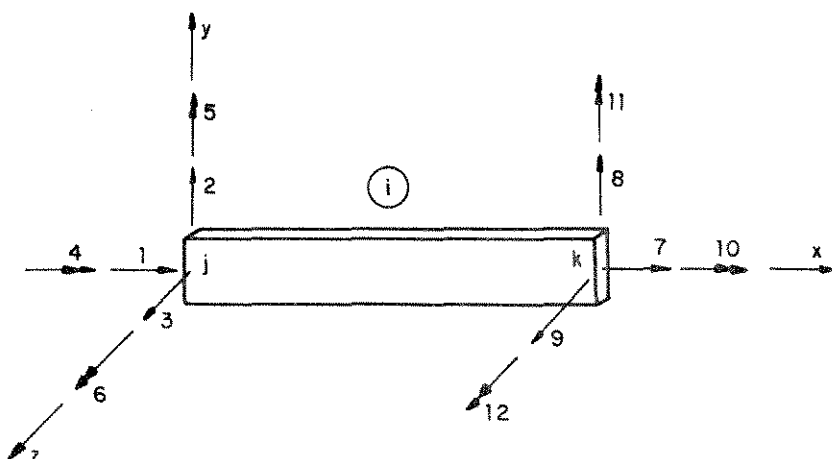


Figura 4.7.1 - Indexação da barra I .

Calculou-se as oito constantes de rigidez para as deformações axial, de torção e de flexão da barra, conforme as equações (4.12).

$$\begin{aligned}
 M_1 &= E \times AX(I) / L(I) & M_5 &= G \times IX(I) / L(I) \\
 M_7 &= A \times E \times TY(I) / L(I) & Z_2 &= A \times E \times IZ(I) / L(I) \\
 M_3 &= 1,5 \times M_2 / L(I) & Z_3 &= 1,5 \times Z_2 / L(I) \quad (4.12) \\
 M_4 &= 2 \times M_3 / L(I) & Z_4 &= 2,0 \times Z_3 / L(I)
 \end{aligned}$$

Usando como guia a lista de restrições de nó, foram reindexados os seis possíveis deslocamentos para os nós em cada uma das extremidades da barra, tendo em consideração se os nós são realmente restringidos ou não. Isto é, se um certo deslocamento é livre de ocorrer, o índice é decrescido pelo correspondente elemento de CRL, colocando-o na ordem apropriada entre os graus de liberdade. De outro modo, se um deslocamento não é livre de ocorrer, o índice é recomposto para N mais o correspondente elemento de CRL, colocando-o na ordem apropriada entre as restrições de apoio.

A matriz de rigidez foi gerada, inicialmente, no seu próprio sistema de coordenadas, conforme Apêndice B, usando as constantes de rigidez anteriormente avaliadas.

Após, calculou-se uma matriz MR como uma etapa intermediária na transformação da matriz de rigidez da barra (SM) para a matriz de rigidez da barra para os eixos da estrutura (MD). Esta matriz intermediária foi calculada pós-multiplicando a matriz SM pela matriz de rotação RT, segundo a equação (4.13).

$$MR = SM \times RT \quad (4.13)$$

Então, a matriz MD, orientada com os eixos da estrutura, resultou na equação (4.14) cuja matriz resultante é algo complicada quando expressa por extenso, consistindo uma das principais vantagens dos métodos matriciais na análise de estruturas o poder representar conjuntos de relações tão extenso quanto este de modo tão conciso.

$$MD = RT^T \times SM \times RT \quad (4.14)$$

No programa, a matriz RT não está formada realmente, pelo que usa-se a matriz de rotação R (que se converte em RT). Em seguida, calculase a matriz MD (Equação 4.15) pré-multiplicando a matriz MR pela transposta de RT.

$$MD = RT^T \times MR \quad (4.15)$$

Se o índice $\delta_{JJ}(I) = 5$ (valor original de J_1) corresponde a um grau de liberdade, a primeira coluna de MD é transferida para a matriz de rigidez da estrutura, conforme (4.16).

$$\begin{aligned}
 (Sj)_{J1,J1} &= MD + (MD1,1)_1 & (Sj)_{k1,J1} &= (MD7,1)_1 \\
 (Sj)_{J2,J1} &= MD + (MD2,1)_1 & (Sj)_{k2,J1} &= (MD8,1)_1 \\
 (Sj)_{J3,J1} &= MD + (MD3,1)_1 & (Sj)_{k3,J1} &= (MD9,1)_1 \quad (4.16) \\
 (Sj)_{J4,J1} &= MD + (MD4,1)_1 & (Sj)_{k4,J1} &= (MD10,1)_1 \\
 (Sj)_{J5,J1} &= MD + (MD5,1)_1 & (Sj)_{k5,J1} &= (MD11,1)_1 \\
 (Sj)_{J6,J1} &= MD + (MD6,1)_1 & (Sj)_{k6,J1} &= (MD12,1)_1
 \end{aligned}$$

Outros onze conjuntos de expressões idênticas podem ser

escritas para fazer um total de doze conjuntos de equações, cada qual considerando a transferência de elementos de uma dada coluna da matriz MD para as localizações apropriadas na matriz Sj.

Todavia, se 6JJ (I)-S corresponde a uma restrição, a primeira coluna de MD é ignorada. Por este artifício são geradas unicamente as partes necessárias da matriz de rigidez. O resultado é um quadro retangular que consiste na matriz S na parte superior e a matriz SRD na parte inferior.

Contudo, no programa o quadro completo é identificado como S. Os elementos de S, que incluem a ligação de J1 com J2 até J6 são acumulativos porque em geral recebem contribuições de mais de uma barra. Todavia, os elementos de S que incluem a ligação de J1 com K1 até K6, são os valores únicos. Este processo de transferência repete-se para todas as 12 colunas de MD.

4.7.6 Inversão da Matriz de Rigidez

A matriz de rigidez S usada na análise de rigidez é invertida durante o processo de resolução usando um método adequado como o desenvolvido no subprograma "Inverte Matriz", apresentado no Apêndice F. Sendo a matriz S formada pelas ações correspondentes aos deslocamentos de nó devidos a valores unitários desses deslocamentos, a matriz inversa deve ser formada pelos deslocamentos de nós devidos a valores unitários das ações correspondentes aos deslocamentos.

O cálculo dos deslocamentos numa estrutura, mediante equações matriciais, requer que a estrutura esteja submetida a cargas atuando unicamente nos nós. Porém, geralmente, as cargas reais numa estrutura não obedecem a este requisito. Por isto, as cargas podem ser divididas em dois tipos, a saber, cargas nodais e cargas nas barras.

As cargas nodais estão prontas para colocação imediata num vetor de ações a ser usado na solução, mas as cargas sobre as barras serão levadas em consideração calculando-se as ações de engastamento que produzem.

4.7.7.1 Cargas Nodais

Se o número de nós NLJ carregados for diferente de zero, são lidas as designações dos nós e as ações neles aplicadas e armazenadas no vetor A. Tais ações são as forças aplicadas nas direções X, Y, Z e binários aplicados nos sentidos X, Y, Z em relação aos eixos orientados com os eixos da estrutura.

4.7.7.2 Cargas nas Barras

Quando existir cargas aplicadas fora dos nós, portanto, diretamente sobre as barras, devem ser substituídas por cargas estaticamente equivalentes que atuem nos nós. Neste caso, em uma instrução de controle iterativa para as barras com carga NLM, são

tidas as designações das barras carregadas e os dados relativos às cargas. Tais dados são transformados em doze ações de engastamento para cada barra. Estas ações, que atuam nas coordenadas da barra, são armazenadas no vetor AML e representam os esforços desenvolvidos pelo engastamento, necessários para manter em zero os deslocamentos nas extremidades das barras. Na Figura 4.7.7 estão representadas as ações, em direção e sentido positivos, e sua respectiva numeração.

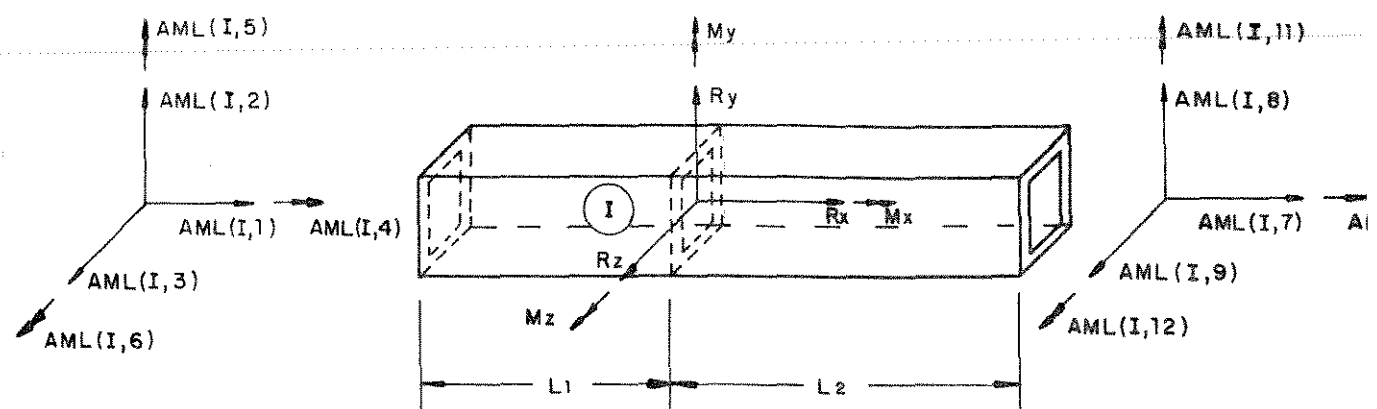


Figura 4.7.7 - Ações de engastamento na barra genérica I.

As equações para determinação das ações de engastamento podem ser obtidas através da tabela apresentada no Apêndice N.

$$\Delta M(I,1) = -R_x \times L_2 \times L(I) \quad (4.17)$$

$$\Delta M(I,2) = -R_y \times L_2^2 \times (3 \times L_1 + L_2) + 6 \times M_z \times L_1 \times L_2 \times L(I)^3$$

$$\Delta M(I,3) = -R_z \times L_2^2 \times (3 \times L_1 + L_2) - 6 \times M_y \times L_1 \times L_2 \times L(I)^3$$

$$\Delta M(I,4) = -M_x \times L_2 \times L(I)$$

$$\Delta M(I, 6) = MZ \times L2 \times (2 \times L1 + L2) - RY \times L1 \times L2^2 / L(I)^2$$

$$\Delta M(I, 7) = -RX \times L1 / L(I)$$

$$\Delta M(I, 8) = -RY \times L1^2 \times (L1 + 3 \times L2) - 6 \times MZ \times L1 \times L2 / L(I)^2$$

$$\Delta M(I, 9) = -RZ \times L1^2 \times (L1 + 3 \times L2) + 6 \times MY \times L1 \times L2 / L(I)^2$$

$$\Delta M(I, 10) = -MX \times L1 / L(I)$$

$$\Delta M(I, 11) = MY \times L1 \times (2 \times L2 - L1) - RZ \times L1^2 \times L2 / L(I)^2$$

$$\Delta M(I, 12) = MZ \times L1 \times (2 \times L2 - L1) + RY \times L1^2 \times L2 / L(I)^2$$

A seguir, as ações AML são tomadas, hipoteticamente, como cargas nodais equivalentes àquelas aplicadas ao longo da barra, em uma instrução de controle iterativa para M barras, as contribuições de cada barra são identificadas e transferidas para o vetor de ações equivalente AE de cada barra.

4.3 Construção dos Vektores Associados às Cargas

4.3.1 Cargas Equivalentes

O método para obter o vetor de ações AE consiste em tomar as barras em sequência e avaliar suas contribuições uma a uma, e seu cálculo também considera os valores negativos das ações de engastamento para as barras. Cada uma das instruções para gerar um elemento de AE consiste numa soma de contribuições de mais do que uma barra, porque somente pontos extremos, eventualmente, recebem contribuições de uma só barra.

A construção do vetor AE, nas coordenadas da estrutura,

$$J = 1, 1, NENR$$

$$(4.20)$$

A seguir, determina-se o índice referente à locação das ações no vetor AC, tendo em consideração que se o j-ésimo deslocamento possível não está restrinido, o índice K para um elemento de AC é colocado na posição correta na primeira parte do vetor.

$$K = J - CRL(J)$$

$$(4.21)$$

Todavia, se o j-ésimo deslocamento possível está restrin-
gido, o índice K é colocado na posição correta na última parte do
vetor.

$$K = N + CRL(J)$$

$$(4.22)$$

Calculase o vetor de ações combinadas através da equação
(4.23).

$$AC(K) = AD(J) + AE(J)$$

$$(4.23)$$

O vetor AC é formado por duas partes. A primeira repre-
senta a soma das cargas nodais reais e equivalentes, correspon-
dentes aos graus de liberdade conhecidos. Portanto, esta parte do ve-
tor AC é o vetor AD. A segunda parte do vetor AC consiste na so-
ma das cargas nodais reais equivalentes correspondentes às res-
tricções de apoio sobre a estrutura. Se os sinais dos elementos
desta parte de AC são invertidos, aparece o vetor ARL. Assim sen-
do, o vetor de cargas combinadas AC está composto como expresso
em (4.24).

$$\Delta C = \begin{vmatrix} AD \\ - \\ ARL \end{vmatrix} \quad (4.9.24)$$

4.9 Cálculo de Ações nas Extremidades de Barras

Nesta etapa da análise foram calculados todos os deslocamentos nodais, reações de apoio e ações de extremidades de barra.

Na estrutura espacial, que constitui o tipo mais comum de estruturas reticuladas, uma barra típica I pode ter no máximo seis ações de extremidade em cada nó e são numeradas, sistematicamente, tomando pela ordem X_m , Y_m e Z_m , conforme Figura 4.9.1., na qual as flechas com uma seta indicam força e com seta dupla indicam binários.

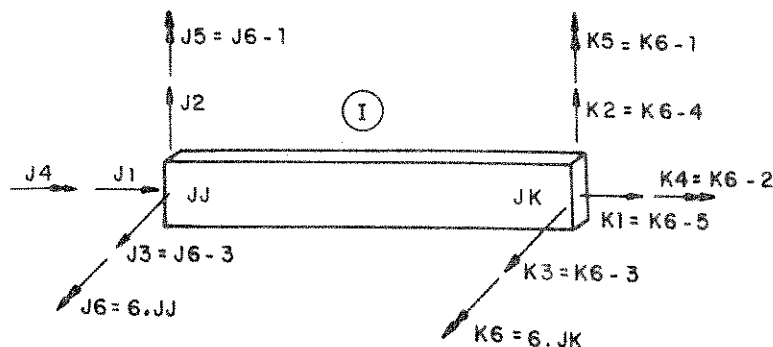


Figura 4.9.1 - Numeração das ações nas extremidades da barra.

4.9.1 Deslocamentos de Nô e Reações de Apoio

Os deslocamentos desconhecidos D são encontrados por subse-

tituição das matrizes AD e da inversa de S na equação (4.25) .

$$D = S^{-1} \times AD \quad (4.25)$$

As reacções de apoio AR são calculadas por álgebra matricial substituindo as matrizes ARL, SRD e D em (4.26).

$$AR = ARL + SRD \times D \quad (4.26)$$

4.9.2 Ações nas Extremidades das Barras

As ações de extremidade finais numa barra dada consiste na superposição de ações de engastamento iniciais com os efeitos adicionais causados pelos deslocamentos das extremidades da barra. Esta superposição de ações está expressa para a i-ésima barra da estrutura pela equação (4.27).

$$EAMLI = EAMLII + CSMII \times EDmII \quad (4.27)$$

Nesta expressão EAMLI é o vetor de ações finais de extremidade, EAMLII o vetor de ações de engastamento e CSMII a matriz de rigidez da barra genérica i.

O vetor EDmII é formado pelos deslocamentos das extremidades da barra portanto, deve ser determinado a partir do vetor de deslocamentos nodais Dj. Como os primeiros deslocamentos estão

nas direções dos eixos da estrutura e os últimos estão nas direções dos eixos da barra, obtém-se o vetor \overline{EDm}_i pela seguinte transformação:

$$\overline{EDm}_i = (RT)_i \times \overline{EDj}_i \quad (4.28)$$

onde \overline{EDj}_i é o vetor de deslocamentos nodais para as extremidades da barra. Substituindo (4.28) em (4.27) resulta a expressão (4.29):

$$\overline{CAM}_i = \overline{CAML}_i \times (SM)_i \times (RT)_i \times \overline{EDj}_i \quad (4.29)$$

Nos párticos espaciais a determinação das ações \overline{CAM}_i é feita tomando uma barra por vez; para tanto, faz-se uma instrução de controle iterativa sobre barras, para M barras da estrutura. Este vetor é formado por doze elementos, sendo três forças e três binários nas direções X_m , Y_m e Z_m em cada extremidade da barra.

Quando as ações nas extremidades tiverem sido obtidas, ter-se-á os elementos necessários para o preciso dimensionamento da estrutura.

Os dados de entrada, pertinentes às cargas, requeridos para o cálculo estão resumidos na Tabela 4.9.1.

Dados de Carga	Número de Casos	Itens Necessários
Número de nós e de barras com carga	1	NLJ NLN
Ações aplicadas nos nós	NLJ	k AE6K-50 AE6K-40 AE6K-30 AE6K-20 AE6K-10 AE6K0
Ações nos extremos das barras restrinvidas devido às cargas	2NLN	T AMLEI,10 AMLEI,20 AMLEI,30 AMLEI,40 AMLEI,50 AMLEI,60 AMLEI,70 AMLEI,80 AMLEI,90 AMLEI,100 AMLEI,110 AMLEI,120

Tabela 4.9.1 - Dados de entrada relativos às cargas.

4.9.3 Armazenamento das Ações

As ações de extremidade de barra podem ser armazenadas no arquivo de dados AM gerado pelo subprograma "Guarda Ações", Apêndice F, para posterior utilização na determinação da tensão máxima.

4.10 Tensão Máxima na Barra

Tendo em consideração a funcionalidade e a estética do conjunto, as medidas correspondentes à altura das barras (B) foram uniformizadas em 40 mm e atribuiu-se a mesma variável (A2) para a largura das barras 2 e 3, porque formam a torre do implemento. O mesmo procedimento tomou-se em relação às barras 4 e 5, por constituírem a viga principal do arado, designando por A3 sua variável de largura.

As variáveis dimensionais da seção transversal das barras foram introduzidas em cada resolução do programa, para geração do banco de dados de tensões máximas, através do subprograma "Varia Seção", Apêndice I.

A summarização destas variáveis está apresentada na Tabela 4.10.i, onde usase a seguinte simbologia:

A1= largura da barra 1

A2= largura das barras 2 e 3

A3= largura das barras 4 e 5

A4= largura da barra 6

A5= largura da barra 7

A6= largura das barras 1, 2, 3, 4, 5, 6 e 7

A7= largura das barras 4 e 5

BARRA	LARGURA	ESPESSURA
1	A1	A6
2	A2	A6
3	A2	A6
4	A3	A7
5	A3	A7
6	A4	A6
7	A5	A6

Tab. A.10.1 - Variáveis da estrutura.

Estas variáveis podem assumir os valores dados na Tabela A.10.2.

VARIÁVEL	VALORES ASSUMIDOS (mm)		
A1	20,00	30,00	40,00
A2	20,00	30,00	40,00
A3	60,00	70,00	80,00
A4	20,00	30,00	40,00
A5	20,00	30,00	40,00
A6	2,03	2,64	3,25
A7	5,69	6,51	7,33

Tab. A.10.2 - Valores que as variáveis da estrutura podem assumir.

A distribuição de tensões causadas pelas forças cortantes $AM(I,2)$ e $AM(I,3)$ na secção transversal da barra é uma distribuição de tensão de cisalhamento.

A determinação das tensões de cisalhamento devidas à força vertical $AM(I,2)$ e à força horizontal $AM(I,3)$ é dada por TY e TZ , conforme equações (4.30) e (4.31), sendo $(Msz)c$ o momento estático da área abaixo da linha de corte com relação ao eixo Z , obtido pelo produto entre a área acima da linha de atuação da força cortante e seu centróide.

$$AM(I,2) \propto (Msz)c$$

$$TY = \dots \quad (4.30)$$

$$AM(I,3) \propto (Msy)c$$

$$TZ = \dots \quad (4.30)$$

$$A \propto TZ(I)$$

$$B \propto TY(I)$$

$$(4.31)$$

Para o cálculo das tensões nos pontos médios das laterais da secção, determinou-se o centróide da metade da secção através das relações de (4.32) (Figura 4.10.1).

$$\begin{aligned} Z_G &= B \propto (C + T) + C^2 \\ Y_G &= \dots \end{aligned}$$

$$(4.32)$$

$$\begin{aligned} Z_G &= A \propto (D + T) + D^2 \\ Z_G &= \dots \end{aligned}$$

$$(4.32)$$

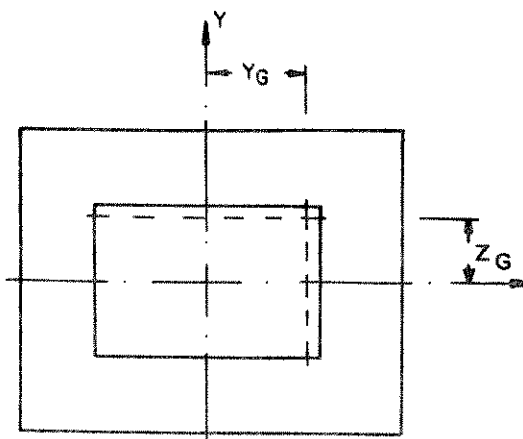


Fig. 4.10.1 - Centróide da metade da secção.

O cálculo das tensões é processado logo a seguir, através das seguintes equações:

- devido à tração ou compressão.

$$T_1 = \frac{\Delta M(I,1)}{A X(I)} \quad C_1 = T_1 \quad (4.33)$$

- devido ao cisalhamento.

para pontos no contorno externo da seção.

$$T_2 = \frac{\Delta M(I,2) \times A X(I) \times Y_0}{Z \times I Z(I) \times (A + C)} \quad T_3 = \frac{\Delta M(I,3) \times A X(I) \times Z_0}{Z \times I Y(I) \times (B + D)} \quad (4.34)$$

para pontos no contorno interno da seção.

$$C_2 = \frac{\Delta M(I,2) \times T \times (D + T)}{Z \times I Z(I)} \quad C_3 = \frac{\Delta M(I,3) \times T \times (C + T)}{Z \times I Y(I)} \quad (4.35)$$

- devido à torção.

$$T_4 = \frac{\Delta M(I,4)}{Z \times A P \times T} \quad C_4 = T_4 \quad (4.36)$$

Foi calculada a tensão equivalente a partir do extremo JJ a intervalos de 10 mm, até detectar-se a tensão máxima a ser tomada como referência para o dimensionamento da barra.

— para X variando de 0 até $L(T)$, as ações nas sucessivas secções podem ser obtidas pelas equações (4.37).

$$\begin{aligned} \Delta M(T_r, 1)x &= \Delta M(T_r, 1)o \\ \Delta M(T_r, 2)x &= \Delta M(T_r, 2)o \\ \Delta M(T_r, 3)x &= \Delta M(T_r, 3)o \\ \Delta M(T_r, 4)x &= \Delta M(T_r, 4)o \\ \Delta M(T_r, 5)x &= \Delta M(T_r, 5)o + \Delta M(T_r, 3)x X \\ \Delta M(T_r, 6)x &= \Delta M(T_r, 6)o - \Delta M(T_r, 2)x X \end{aligned} \quad (4.37)$$

As tensões de tração ou compressão devidas à flexão variam ao longo da barra sendo, então, expressas em função da distância X a partir da extremidade JJ, em que $X = 0$, até a extremidade JK em que $X = L(T)$.

$$\begin{aligned} YM &= \Delta M(T_r, 5) + \Delta M(T_r, 3)x X \\ ZM &= \Delta M(T_r, 6) - \Delta M(T_r, 2)x X \end{aligned} \quad (4.38)$$

Portanto, as tensões nos pontos do contorno externo da seção, T5 e T6, são dadas pelas equações (4.39).

$$\begin{aligned} T_{51} &= \frac{YM \times A}{2 \times IY(T)} & T_{61} &= \frac{ZM \times B}{2 \times Iz(T)} \\ & & & \end{aligned} \quad (4.39)$$

temos:

$$\begin{array}{lll} YM \times C & & ZM \times D \\ CE = \dots & C6 = \dots & (4.40) \\ 2 \times TY(I) & 2 \times TZ(I) & \end{array}$$

O arado, Figura 4.4.i, tem a coluna do disco intermediário localizada sobre o nó 4 sendo que as ações resultantes são tratadas, na análise da estrutura, como cargas nodais.

As outras duas colunas são fixadas sobre as barras 4 e 5, tornando necessário o estudo diferenciado das suas tensões. A determinação das tensões máximas nestas barras é feita para cada seção a partir de $X=0$; porém, para X além do ponto onde estão localizadas as cargas externas (colunas de disco), os efeitos são acrescidos das ações resultantes nas seções subsequentes, conforme as equações (4.44).

Então, para toda e qualquer seção posterior ao ponto de fixação da coluna, são válidas as ações (4.41), determinadas através do subprograma "Ações na Barra", Apêndice E.

$$\begin{aligned} AM(I,1)x &= AM(I,1) + RX \\ AM(I,2)x &= AM(I,2) + RY & (4.41) \\ AM(I,3)x &= AM(I,3) + RZ \\ AM(I,4)x &= AM(I,4) + MZ \\ AM(I,5)x &= AM(I,5) + AM(I,3) \times X + MY + RZ \times (X - L4) \\ AM(I,6)x &= AM(I,6) + AM(I,2) \times X + MZ - RY \times (X - L4) \end{aligned}$$

Este subprograma determina as ações nas secções das barras e encaminha o cálculo das tensões e retorna os novos valores para o programa principal que os endereça para o subprograma "Tensão Máxima", Apêndice J.

Foram avaliados dezesseis pontos críticos na seção, sendo seis no contorno externo e outro tanto no contorno interno. A Figura A.10.2 ilustra uma seção transversal da barra e os pontos cujas tensões, geradas pelo carregamento decorrente da operação agrícola de aração, foram determinados e analisados.

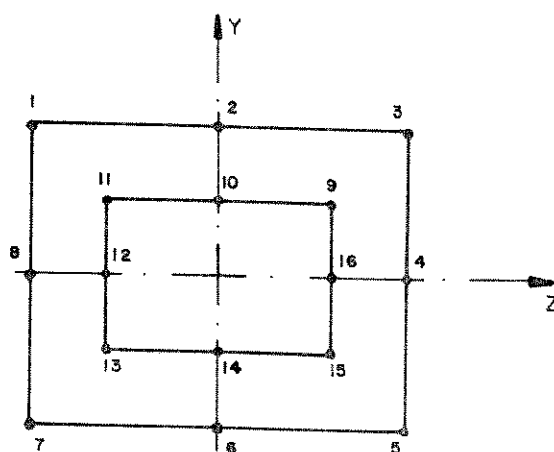


Figura A.10.2 - Pontos pesquisados na seção da barra.

Foi determinada a tensão máxima em cada ponto, através da equação (4.42) e comparada com a do ponto subsequente, sendo selecionada a maior delas. Após percorrer todos os dezesseis pontos em estudo, a tensão resultante é a tensão máxima da seção.

$$T_{MAX} = \sqrt{((TX/2)^2 + TY^2)} \quad (4.42)$$

4.4.4 Geração das Equações Empíricas

Com o auxílio de um computador Exato CCE foi criado um banco de dados de tensões máximas nas barras da estrutura, obedecendo ao plano de pesquisa previamente estabelecido, objetivando a geração de equações empíricas de tensões máximas nas barras da estrutura, conforme Apêndice 0.

Para efeito de elaboração do referido plano foi estabelecido a seguinte codificação para os três níveis de valores para as variáveis da estrutura.

$$A1 \begin{cases} 20 = -1 \\ 30 = 0 \\ 40 = 1 \end{cases} \quad A2 \begin{cases} 20 = -1 \\ 30 = 0 \\ 40 = 1 \end{cases} \quad A3 \begin{cases} 20 = -1 \\ 30 = 0 \\ 40 = 1 \end{cases} \quad A4 \begin{cases} 20 = -1 \\ 30 = 0 \\ 40 = 1 \end{cases}$$

$$A5 \begin{cases} 20 = -1 \\ 30 = 0 \\ 40 = 1 \end{cases} \quad A6 \begin{cases} 2,03 = -1 \\ 2,64 = 0 \\ 3,25 = 1 \end{cases} \quad A7 \begin{cases} 5,69 = -1 \\ 6,51 = 0 \\ 7,33 = 1 \end{cases}$$

Com o auxílio do pacote estatístico Minitab II, desenvolvido para computadores digitais, foi encetada a análise de regressão linear múltipla das colunas de variáveis da estrutura com cada uma das colunas de tensões obtidas pelo cálculo estrutural, gerando, assim, as ditas equações.

CAPÍTULO V

5. RESULTADOS E DISCUSSÕES

Os resultados advindos dos estudos desenvolvidos para análise da estrutura do arado de três discos e posterior geração de equações empíricas de tensões máximas para as barras que o constituem estão apresentados e discutidos neste capítulo.

5.1 Condições de Apoio

As condições de apoio desempenham importante papel na distribuição de tensões nas barras de qualquer estrutura. Assim sendo foram analisadas e testadas três situações de operação com diferentes condições de apoio, sujeitas a ocorrerem quando o arado realiza o preparo do solo para implantação de uma lavoura, conforme delineado no ítem 4.7.4.

A primeira condição de apoio estudada, denominada situação A, foi tomada como testemunha para efeito de comparação com as demais. Nesta considerou-se que o arado foi regulado dentro das especificações técnicas recomendadas para a operação agrícola de aradura, trabalhando em uma lavoura com boas condições topográficas de solo. Portanto, as correntes estabilizadoras do arado em re-

Tação ao trator, permanecem afrouxadas cabendo à roda guia, nó 5, manter a estabilidade transversal do conjunto, enquanto aos pontos engate do arado ao trator, nós 1, 2 e 3, cabe a responsabilidade de manter o equilíbrio longitudinal e vertical, conforme summarizado na Tabela 4.7.4.

Nas demais situações pesquisadas considerou-se que o arado tenha perdido a sustentação na roda guia, portanto, cabendo às correntes estabilizadoras suportar os esforços transversais. Quando a resultante destes esforços atuar no sentido horário, caberá à corrente estabilizadora direita suportá-la, caracterizando a denominada situação B. Quando atuar no sentido anti-horário tensionará a corrente estabilizadora esquerda, caracterizando a situação C, conforme resumido nas Tabelas 4.7.5 e 4.7.6. Estas duas situações podem ocorrer no decurso da jornada de trabalho, principalmente em solos argilosos com umidade acima da ideal para aração, comumente verificada no preparo de lavouras localizadas em várzeas e nas de arroz irrigado e em lavouras com topografia acidentada ou com toca de animais.

Para efeito de comparação, objetivando determinar a situação em que as barras da estrutura são mais solicitadas, foram tomadas ao acaso, no plano de pesquisa, quatro combinações de dimensões das seções das barras, largura e espessura, Tabelas 5.4.1 a 5.4.4, e mais duas outras combinações hipotéticas, Tabelas 5.4.5 e 5.4.6.

Barra	Situação A	Situação B	Situação C
1	3380	3381	4317
2	4732	6051	5589
3	1280	2224	2181
4	4201	7594	7595
5	4640	5468	5468
6	1428	2198	2201
7	1642	5327	5320

Tab. 5.4.1 - Tensão máxima nas barras (N/cm²) para as três situações de apoio considerando as variáveis $A_1=A_2=A_4=A_5=2$, $A_3=6$, $A_6=0,203$ e $A_7=0,569$ (cm)

Barra	Situação A	Situação B	Situação C
1	2474	1938	2595
2	3195	4403	4361
3	1049	1420	1393
4	4069	7460	7459
5	4564	5462	5463
6	1598	2963	2983
7	1189	5624	5616

Tab. 5.4.2 - Tensão máxima nas barras (N/cm²) para as três situações de apoio considerando as variáveis $A_1=A_2=4$, $A_3=6$, $A_4=A_5=2$, $A_6=0,203$, $A_7=0,569$ (cm)

Barra	Situação A	Situação B	Situação C
1	1443	1224	1686
2	2118	2753	2726
3	526	808	790
4	2544	4321	4322
5	3052	3550	3551
6	936	1725	1737
7	928	4443	4435

Tab. 5.1.3 - Tensão máxima nas barras (N/cm²) para as três situações de apoio considerando $A_1=A_2=4$, $A_3=8$, $A_4=2$, $A_5=4$, $A_6=0,325$, $A_7=0,733$ (cm).

Barra	Situação A	Situação B	Situação C
1	4785	4764	2482
2	2494	2246	2905
3	748	1053	1087
4	2577	4794	4795
5	3029	3428	3425
6	608	1447	1452
7	647	3433	3431

Tab. 5.1.4 - Tensão máxima nas barras (N/cm²) para as três situações de apoio considerando $A_1=4$, $A_2=2$, $A_3=8$, $A_4=4$, $A_5=2$, $A_6=0,325$, $A_7=0,733$ (cm).

Barras	Situação A	Situação B	Situação C
1	2732	2529	3090
2	2782	3997	3972
3	1329	3112	3130
4	6471	9388	9389
5	6927	9164	9159
6	994	2064	2068
7	1722	6230	6228

Tab. 5.1.5 - Tensão máxima nas barras (N/cm^2) para as três situações de apoio considerando $A_1=1$, $A_2=A_3=A_4=A_5=2$, $A_6=A_7=0,5$ (cm).

Barras	Situação A	Situação B	Situação C
1	2432	2174	2670
2	2908	4068	4036
3	1005	1739	1716
4	4474	7338	7339
5	4867	5789	5789
6	949	1863	1869
7	900	5025	5023

Tab. 5.1.6 - Tensão máxima nas barras (N/cm^2) para as três situações de apoio considerando $A_1=2$, $A_2=A_3=A_4=A_5=2$, $A_6=5$, $A_7=0,4$ (cm).

Da análise das tabelas acima verifica-se que a tensão máxima na situação A é, em média, 35% menor que na situação B e 37% menor que na situação C.

Nas situações B e C constatou-se uma distribuição de tensões muito semelhante, pois em todas las barras elas atingem valores que oscilam dentro de uma faixa muito estreita, 0,1 a 2,6% com exceção da barra 4 que na situação B apresenta uma tensão média 24,5% menor que na situação C.

Devido a estas apreciações resolveu-se por escolher a situação C como a condição de apoio a ser adotada no projeto do arado, pois assim procedendo, intercede-se em favor da segurança do projeto e, consequentemente, no aumento da confiabilidade nas estimativas empíricas de tensões máximas geradas.

5.2 Pontos de Tensão Máxima

Com o auxílio do subprograma "Tensão Máxima", Apêndice J, verificou-se que numa seção retangular vazada submetida à flexão ocorrem concentrações de tensões nas dobras internas e externas, mas que na combinação com torção as tensões podem ser maiores na metade do lado maior da seção. Portanto, foram determinadas e avaliadas as tensões máximas em pontos internos e externos das dobras e na metade das laterais, concluindo-se que, para as magnitudes de tensões registradas na estrutura do arado em operação, as tensões são maiores nas dobras externas da seção.

5.3 Modelos Matemáticos

Com o objetivo de obter modelos matemáticos que representem os dados experimentais e que possam ser utilizados em novos projetos de arados, aplicou-se a análise de regressão linear múltipla, MINITAB 14.0, ao banco de dados, constituído por colunas de combinações das variáveis independentes (A1 a A7), formadas por larguras e espessuras das barras estruturais do arado, e as respectivas variáveis dependentes (TMAX1 a TMAX7), que representam as tensões máximas em algum ponto do comprimento das barras.

Tendo em vista que as variáveis independentes podem assumir três níveis de valores, codificou-se, para efeito de regressão, como -1 e 1 os níveis extremos e 0 (zero), o nível médio da variável. As colunas formadas pelas combinações das variáveis codificadas, designadas C1 a C7, foram regredidas com cada uma das colunas de tensões máximas, TMAX1 a TMAX7, gerando as equações empíricas de tensão máxima para cada barra da estrutura. A equação (5.1) expressa de forma genérica a tensão máxima na estrutura e os parâmetros estimados para cada barra estão listados na Tabela 5.3.1.

$$\begin{aligned} \text{TMAX}_I = & B_0 + B_1 \times C_1 + B_2 \times C_2 + B_3 \times C_3 + B_4 \times C_4 + B_5 \times C_5 + \\ & + B_6 \times C_6 + B_7 \times C_7 + B_8 \times C_1 \times C_2 + B_9 \times C_1 \times C_3 + \\ & + B_{10} \times C_1 \times C_4 + B_{11} \times C_1 \times C_5 + B_{12} \times C_1 \times C_6 + B_{13} \times C_1 \times C_7 + \\ & + B_{14} \times C_2 \times C_3 + B_{15} \times C_2 \times C_4 + B_{16} \times C_2 \times C_5 + B_{17} \times C_2 \times C_6 + \\ & + B_{18} \times C_2 \times C_7 + B_{19} \times C_3 \times C_4 + B_{20} \times C_3 \times C_5 + B_{21} \times C_3 \times C_6 + \\ & + B_{22} \times C_3 \times C_7 + B_{23} \times C_4 \times C_5 + B_{24} \times C_4 \times C_6 + B_{25} \times C_4 \times C_7 + \\ & + B_{26} \times C_5 \times C_6 + B_{27} \times C_5 \times C_7 + B_{28} \times C_6 \times C_7 + B_{29} \times C_1 \times C_1 + \\ & + B_{30} \times C_2 \times C_2 + B_{31} \times C_3 \times C_3 + B_{32} \times C_4 \times C_4 + B_{33} \times C_5 \times C_5 + \\ & + B_{34} \times C_6 \times C_6 + B_{35} \times C_7 \times C_7 \end{aligned} \quad (5.1)$$

onde: $C_1 = \Delta_1 = 3$
 $C_2 = \Delta_2 = 3$
 $C_3 = \Delta_3 = 7$
 $C_4 = \Delta_4 = 3$
 $C_5 = \Delta_5 = 3$
 $C_6 = (\Delta_6 = 0,264) / 0,061$
 $C_7 = (\Delta_7 = 0,651) / 0,032$

Parametro	Barras1	Barras2	Barras3	Barras4	Barras5	Barras6	Barras7
B0	255,70	322,35	141,99	495,05	394,52	200,94	443,22
B1	-38,10	-32,63	-13,16	-1,67	-0,33	10,22	-3,24
B2	-24,44	-28,49	-13,94	-5,51	0,90	14,64	14,41
B3	-3,41	-2,55	-15,44	-63,97	-60,86	-20,84	-45,01
B4	-0,96	-24,78	16,19	-10,06	-8,33	-11,19	-8,12
B5	-41,43	-18,98	-2,74	-34,46	-1,58	-8,30	20,53
B6	41,45	-56,60	-9,60	-17,05	-1,86	-14,93	-24,76
B7	-1,57	-1,55	-6,44	-32,29	-27,21	-8,05	-21,43
B8	3,44	8,17	6,68	0,83	-0,15	-4,46	-0,32
B9	0,97	2,05	0,63	0,35	-0,01	-0,57	1,14
B10	0,35	0,72	-6,58	0,07	-0,13	-5,61	0,81
B11	2,97	3,67	0,52	0,12	0,10	0,19	0,44
B12	5,76	4,04	0,08	-0,88	0,02	0,12	0,19
B13	0,00	0,89	0,56	-1,24	-1,02	-0,60	-1,44
B14	0,41	2,84	0,54	0,96	0,39	-2,60	0,51

B15	0,38	4,16	0,54	-0,83	0,75	-1,04	-2,29
B16	1,92	-1,64	-1,30	-0,64	0,10	-1,25	-0,70
B17	4,91	2,00	1,14	-0,21	0,29	-0,36	-3,54
B18	-0,04	1,05	0,40	-0,93	-1,21	-1,42	-0,10
B19	-0,17	1,46	-5,96	2,33	2,04	2,28	1,98
B20	-1,15	0,58	0,24	7,13	0,43	1,67	4,62
B21	-0,50	0,94	-0,12	3,02	0,62	1,70	5,46
B22	0,05	-1,17	0,60	1,21	2,42	0,45	-0,84
B23	1,16	3,86	1,64	1,48	-0,08	0,71	-2,54
B24	0,88	1,81	4,30	-1,44	-1,61	-1,22	-0,66
B25	0,02	0,72	-1,62	-2,52	2,43	1,35	1,03
B26	3,44	3,16	-0,66	-1,93	-0,14	0,19	-7,43
B27	-0,20	0,71	0,23	-2,24	-0,81	0,58	0,11
B28	0,03	0,43	0,08	-0,36	-0,60	0,63	1,02
B29	5,76	11,32	0,15	9,84	6,03	-0,49	5,24
B30	4,87	5,00	-7,58	11,76	5,76	-2,11	0,23
B31	4,52	7,82	2,33	16,79	15,57	1,10	9,72
B32	0,48	9,70	2,86	10,16	5,34	2,19	5,61
B33	0,99	-6,60	-1,82	11,64	5,71	-2,48	-5,07
B34	3,80	15,49	10,41	11,92	4,08	-6,18	4,25
B35	1,80	7,07	2,85	11,46	8,20	1,94	7,55

Tabela 5.3.4 - Parâmetros da equação de regressão para determinação das tensões máximas nas barras estruturais do arado de três discos.

As Tabelas 5.3.2 e 5.3.4 mostram um resumo dos parâmetros da análise estatística, onde os elevados coeficientes de correlação múltipla (R), associados aos baixos valores de dispersão (S), significativas ao nível de 1%, indicam que o modelo matemático proposto representa satisfatoriamente o fenômeno em questão.

Parâmetro	Barra1	Barra2	Barra3	Barra4	Barra5	Barra6	Barra7
S	5,22	44,36	41,45	8,23	8,03	6,82	10,01
R	99,50	97,60	93,10	99,30	99,00	97,50	98,20
R _{adj}	99,00	96,80	90,90	99,10	98,60	96,60	97,60

Tabela 5.3.2 - Dados da avaliação estatística das equações empíricas de tensão máxima (TMAX).

R* Coeficiente de correlação ajustado aos graus de liberdade da equação.

Tendo em consideração que a barra 2 foi a que apresentou o maior grau de desvio e que a barra 4 é a barra de maior responsabilidade no contexto da presente estrutura, pois é a barra principal e suporta as maiores tensões, foram elaboradas as Figuras 5.3.1 e 5.3.2 mostrando os gráficos de distribuição das tensões máximas obtidas pelo cálculo estrutural computadorizado e as obtidas através da equação empírica de tensões máximas, eq. (5.1), usando os parâmetros estimados para as respectivas barras (Tabela 5.3.1) tendo registrado, comparativamente, reduzidos níveis de desvios.

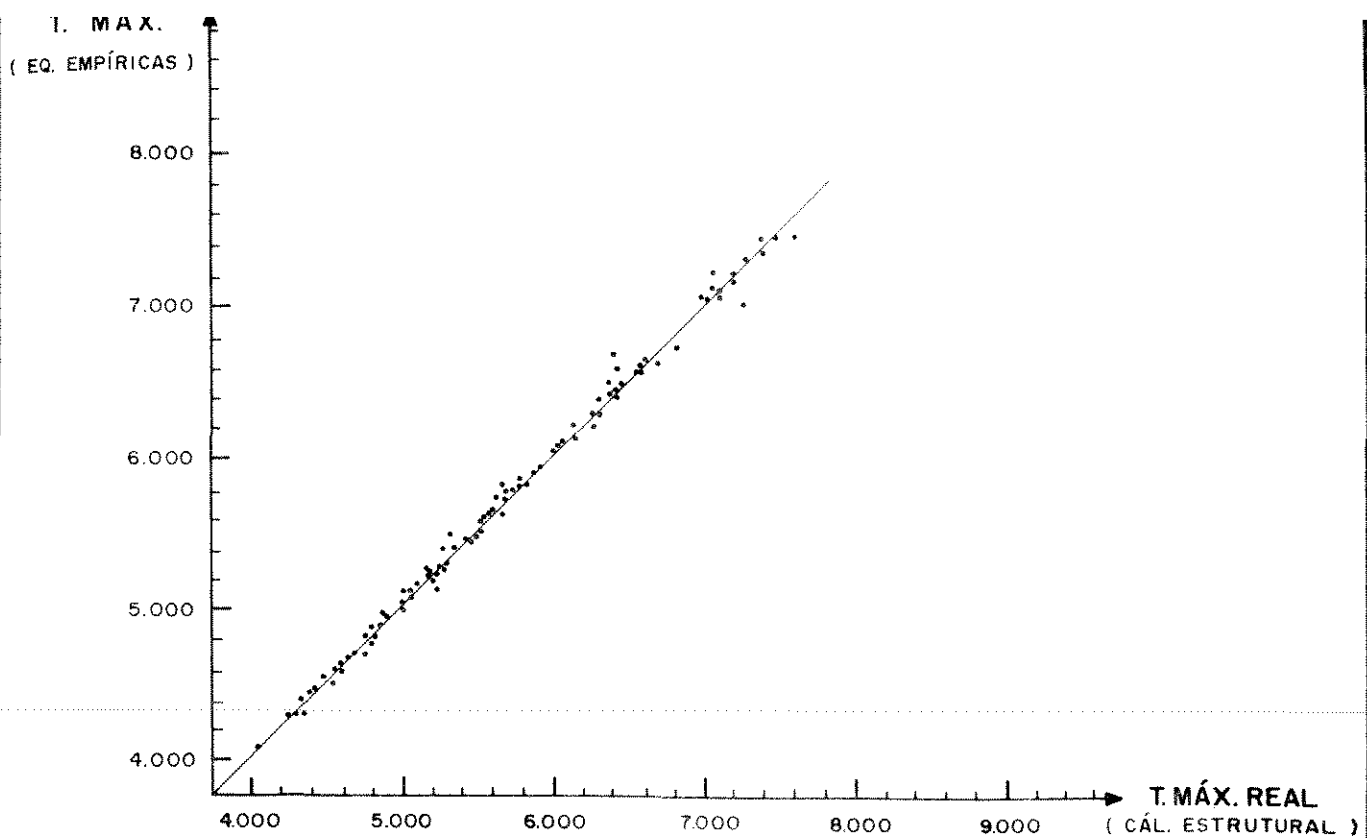
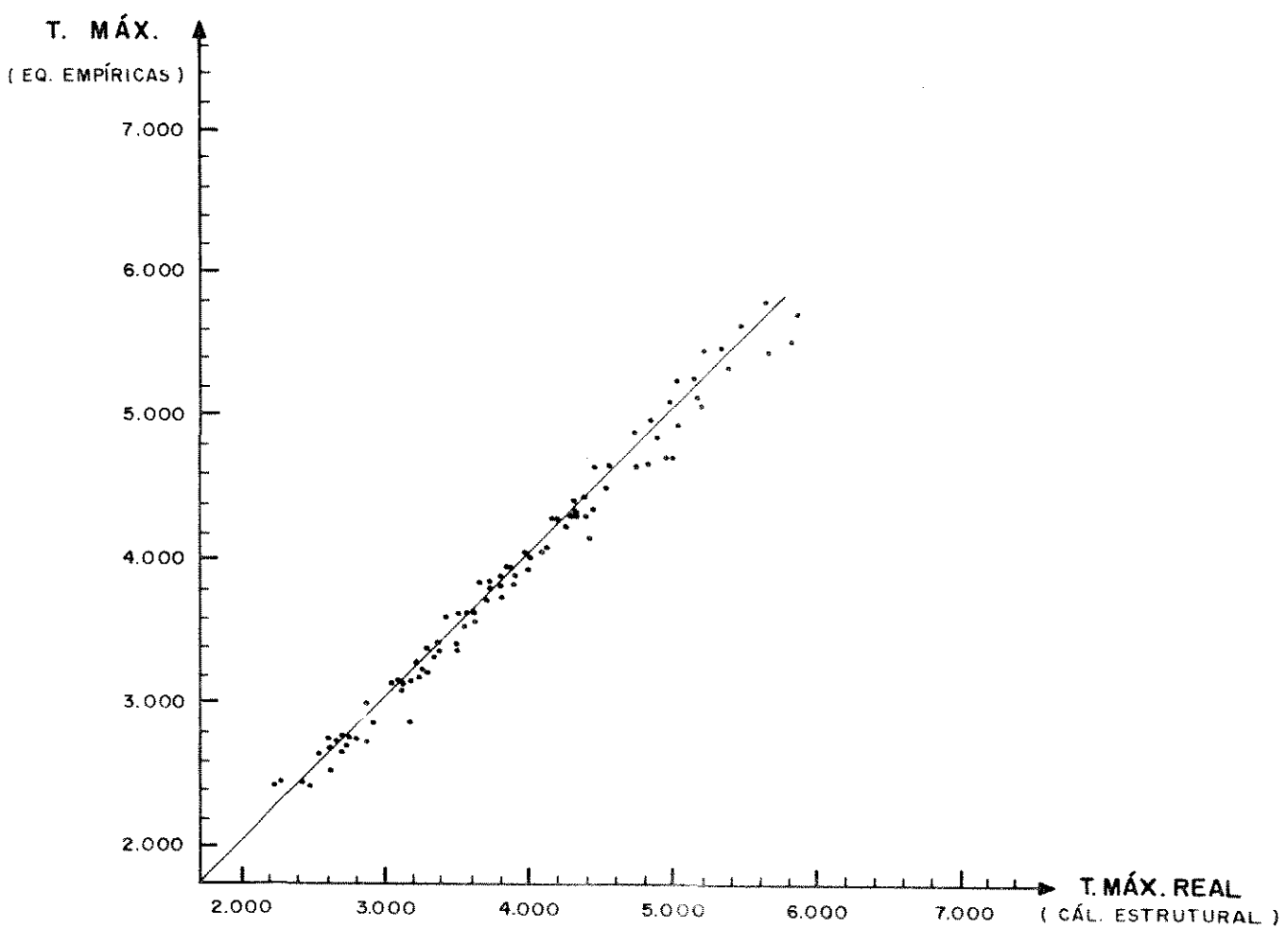


Figura 5.3.1. — Gráfico de tensões máximas na barra 2 (N/cm^2).



Visando simplificar os modelos empíricos de tensões máximas foram identificadas e eliminadas as variáveis com baixa significância na determinação de TMAX.

Uma vez excluídas as variáveis pouco significativas efetuou-se a análise de regressão das demais. Os parâmetros estimados estão apresentados na Tabela 5.3.3 tomando-se como nulos (zero) os parâmetros das variáveis com baixa significância.

Sustituindo-os na equação genérica (5.1) chega-se ao modelo simplificado da equação:

Parâmetro	Barra1	Barra2	Barra3	Barra4	Barra5	Barra6	Barra7
B0	260,54	322,34	146,75	495,05	394,52	201,88	443,89
B1	-38,11	-32,63	-13,16	0,00	0,00	10,22	-3,24
B2	-24,18	-28,48	-13,94	-5,52	0,00	14,64	14,41
B3	-8,41	0,00	-15,44	-63,97	-60,86	-20,84	-45,11
B4	0,00	-24,78	16,19	-10,06	-8,33	-11,19	-8,12
B5	-11,43	-18,98	-2,74	-34,45	0,00	-8,30	20,53
B6	-46,45	-56,60	-9,60	-17,05	-1,88	-14,94	-24,76
B7	-1,57	0,00	-6,14	-32,28	-27,21	-8,05	-21,43
B8	2,11	0,17	6,68	0,00	0,00	-4,46	0,00
B9	0,00	0,00	0,00	0,00	0,00	0,00	0,00
B10	0,00	0,00	-6,58	0,00	0,00	-5,61	0,00
B11	2,27	3,67	0,00	0,00	0,00	0,00	0,00

B12	5,76	4,01	0,00	0,00	0,00	0,00	0,00
B13	0,00	0,00	0,00	0,00	0,00	0,00	0,00
B14	0,00	0,00	0,00	0,00	0,00	-2,60	0,00
B15	0,00	4,16	3,64	0,00	0,00	0,00	0,00
B16	5,92	0,00	0,00	0,00	0,00	0,00	0,00
B17	4,89	0,00	0,00	0,00	0,00	0,00	-3,54
B18	0,00	0,00	0,00	0,00	0,00	0,00	0,00
B19	0,00	0,00	-5,96	2,34	2,01	2,28	0,00
B20	0,00	0,00	0,00	7,13	0,00	1,67	4,62
B21	0,00	0,00	0,00	3,02	0,00	1,70	5,47
B22	0,00	0,00	0,00	0,00	2,42	0,00	0,00
B23	0,00	3,66	0,00	0,00	0,00	0,00	-2,54
B24	0,00	0,00	4,30	0,00	0,00	0,00	0,00
B25	0,00	0,00	0,00	-2,52	2,13	0,00	0,00
B26	3,10	0,00	0,00	-1,93	0,00	0,00	-7,43
B27	0,00	0,00	0,00	2,24	0,00	0,00	0,00
B28	0,00	0,00	0,00	0,00	0,00	0,00	0,00
B29	5,10	11,32	0,00	9,83	6,03	0,00	5,45
B30	4,21	5,00	-8,21	11,76	5,76	0,00	0,00
B31	0,00	7,82	0,00	16,78	15,57	0,00	9,63
B32	0,00	9,70	0,00	10,16	5,34	0,00	5,52
B33	0,00	6,60	0,00	11,64	5,74	-2,63	-5,16
B34	3,14	15,49	9,71	11,91	4,08	-6,23	4,16
B35	4,80	7,06	2,85	11,44	8,17	1,91	7,55

Tabela 5.3.3 - Parâmetros estimados para a equação de regressão, modelo simplificado.

Da avaliação dos parâmetros estatísticos apresentados nas Tabelas 5.3.2 e 5.3.4, verificou-se que o grau de dispersão (S) das equações é, em média, 4% maior e o coeficiente de correlação 3% menor no modelo simplificado em relação ao modelo completo.

Parâmetro	Barra1	Barra2	Barra3	Barra4	Barra5	Barra6	Barra7
S	5,55	15,10	11,50	8,63	8,08	7,63	10,23
R	95,40	96,90	91,80	92,10	98,00	96,20	97,80
R _{xc}	99,30	96,50	90,80	99,00	98,60	95,80	97,50

Tabela 5.3.4 - Dados da avaliação estatística das equações empíricas de tensão máxima (T_{MAX}^i), modelo simplificado.

O modelo completo da equação permite determinar a tensão máxima em cada barra da estrutura com uma aproximação de 95% do valor real, enquanto que o modelo simplificado alcança 94,3%.

De um total de trinta e cinco (35) parâmetros no modelo completo fica reduzido a quatorze (14) na barra 5, quinze (15) na barra 3, dezesséis (16) nas barras 4 e 6, dezessete (17) na barra 2, dezoito (18) na barra 7 e dezenove (19) na barra 4.

O desvio máximo observado foi de 50,34 kg/cm² que, para uma tensão de escoamento de 2800 kg/cm² representa 1,5% de erro, o

qual é absorvido dentro dos níveis de coeficiente de segurança, da ordem de quatro (4), usado no dimensionamento, visando absorver os picos de carga dinâmica a que é submetido qualquer implemento de preparo do solo de baixa velocidade.

O projetista, para obter uma estrutura otimizada, deve variar os valores atribuídos às variáveis dimensionais da seção A1 a A7, até obter tensões máximas nas barras iguais à tensão admissível do material considerado no projeto ou muito próximo deste.

6. CONCLUSÕES

Com base nos resultados obtidos e nas discussões apresentadas no capítulo anterior chegou-se às seguintes conclusões:

- 6.1 - Em diversas máquinas agrícolas, como arados, grades, semeadoras, cultivadores e colheitadoras, as estruturas têm atingido configurações geométricas muito similares entre modelos de diferentes fabricantes, permitindo uma padronização das mesmas, de modo que os componentes de maior responsabilidade na transferência de cargas da máquina ao solo ou ao engate podem ser orientados espacialmente sem maiores ambiguidades.
- 6.2 - O cálculo dos esforços nas barras da estrutura portante espacial de uma máquina agrícola, pelos métodos convencionais para sistemas hiperestáticos, executados manualmente ou em computador digital, resulta inacessível ou impraticável para o projetista de pequenas e médias empresas fabricantes de máquinas ou implementos agrícolas.
- 6.3 - As barras de uma estrutura podem ser caracterizadas por um número limitado de variáveis estruturais, como largura e espessura, permitindo que possam ser obtidas, através do pro-

cenário apresentado, equações que vinculem tensões nas barras às variáveis da estrutura requerendo, basicamente, um programa de cálculo estrutural, como o listado no Apêndice A, e outro para estimação de parâmetros.

6.4 - Pela facilidade no manuseio e aceitável precisão, recomenda-se a utilização das equações simplificadas especialmente nas primeiras aproximações das tensões máximas do processo de dimensionamento à tensão admissível do material adotado para o projeto.

6.5 - O modelo matemático determinado para as equações empíricas de tensões máximas na estrutura do arado de três discos descreve, com desvios inferiores a 8%, os fenômenos envolvidos no processo de cálculo estrutural.

6.6 - Os arados devem ser dimensionados considerando uma situação de trabalho em que a roda guia não ofereça apoio, o que determina um aumento nas tensões de todas as barras.

6.7 - As equações de tensões máximas geradas para arado são suficientemente simples para serem resolvidas em qualquer calculadora portátil.

6.8 - As seções obtidas para tensões próximas de 5000 N/cm², são significativamente menores do que as observadas normalmente em arados comerciais, indicando que os coeficientes de segurança empregados são várias vezes superiores ao fator 4 considerado neste estudo.

CAPÍTULO 7

7. SUGESTÕES

Tendo em vista os propósitos e as conclusões obtidas do presente trabalho, bem como a experiência adquirida, as seguintes sugestões são apresentadas:

7.1 - Implementar estudos utilizando a metodologia desenvolvida no presente trabalho, para a geração de equações de tensões máximas para os demais tipos e modelos de arados e, também, para as demais máquinas agrícolas.

7.2 - Estabelecer uma linha de pesquisa calcada na análise das estruturas das máquinas agrícolas existentes no mercado e, a partir dos estudos realizados, promover a apresentação de propostas para modificações das estruturas e encaminhar o desenvolvimento de outras não convencionais.

7.3 - Considerando a simplicidade das equações empíricas obtidas, sugere-se a incorporação de maior número de variáveis da estrutura visando dar maior flexibilidade ao projetista, sabendo que o processo de estimação de parâmetros não se tornaria inviável.

REFERÉNCIAS BIBLIOGRÁFICAS

E1) - NORMA TÉCNICA BRASILEIRA DE NORMAS TÉCNICAS - Cálculo de Estruturas de Aço, Constituídas por Perfis Leves, P-NB-143, 1967

C2) - BAUER, R., & KEPNER, R.O., & BARGER, E. - Engineering Elements of Farm Machinery, California, 1953.

C3) - BAUER, E.L., & LILJEDAHLL, J.B., & CARLETON, W.M., & MCKIBBEN, E. - Tratores e seus Motores, Editora Edgard Blucher, São Paulo, S.P., 1963.

C4) - BEER, F., & JOHNSTON, E. - Resistência dos Materiais, Mcraw-Hill do Brasil, São Paulo, S.P., 1982.

C5) - BERLITZ, J.D. - Manuales para Educacion Agropecuaria, Editorial Trillas, México, 1982.

C6) - BERNACKI, H., & HAMAN, J., & KANAFOJSKI, C. - Agricultural Machine Theory and Construction, Scientific Publications Foreign Cooperation Center, Warsaw, Poland, 1972.

C7) - PODOLSKY, J., & HUNTER, W.G., & HUNTER, J.S. - Statistics for Experimenters, John Wiley and Sons, New York, 1978.

C8) - CHAVATTE, J. - Las Máquinas Agrícolas, Editora Mundial-Prensa Mayor, Espanha, 1980.

E93 - VIEIRA, J.R. e MORAES, P. L. - Órgãos de Máquinas, Livros
Técnicos e Científicos Editora, 2ª Edição, Rio de Janeiro,
Revista MCTG, 1978.

E123 - CLYDE, N.M. - Improvement of Disk Tools, Agricultural Engineering, Volume 20, Junho, 1939.

E124 - DAYARATNA, P. - Advanced Structural Analysis, Tata McGraw-Hill Publishing Co., New Delhi, 1979.

E125 - GIER, J.H. and WEAVER, M.J. - Analysis of Framed Structures, Van Nostrand Reinhold, New York, 1965.

E133 - GORDON, E.D. - Physical Reactions of Soils on Plow Disks, Agricultural Engineering, Volume 22, pg. 205-208, Junho, 1941.

E143 - HOFFMANN, R. e VIETRA, S. - Análise de Regressão, Editora da Universidade de São Paulo, S.P., 1977.

E153 - INTALHE, L.G. - Máquinas Motoras na Agricultura, Editora da Universidade de São Paulo, São Paulo, S.P., 1980.

E163 - MINITAB. Pacote Estatístico da Universidade da Pensilvânia, USA.

E171 - OPEN, J. Mechanics of Elastic Structures, McGraw-Hill Book Company New York, 1967.

C180 - REED, T. E. - Disk and their Operation, USDA Farmers' Bulletin, 4748,

C190 - RICARDO, O.G. - Introdução à Resistência dos Materiais, Editora da Universidade de Campinas, Campinas, S.P., 1982.

C200 - REINHOLD, C. & YACOBSON, P. & HALL, C. - Agricultural Engineering Handbook, McGraw-Hill Book Company, New York, 1964.

C210 - CASO, F. & BOUCHE, C. & LEITNER, A. - Manual do Engenheiro Mecânico, Editora Hemus, São Paulo, S.P., 1979.

C220 - SERGELING, L. - Finite Elements and the Agricultural Engineering Agricultural Engineering, Volume 56, n.6 pg. 14-16, 1975.

C230 - SOUZA, A. & GUIMARÃES, J. & SAAD, O. - Efeito da Velocidade de Operação do Arado de Discos, na Componente Longitudinal do Esforço Tratóriov, em Solo de Classe Textural Argila. Trabalho apresentado no IV Congresso Nacional de Engenharia Agrícola Unicamp, 1980.

C240 - THIROSHEIKO, S.P. & GODIER, J.N. - Teoria da Elasticidade, 3ª Edição, Editora Guanabara Dois, Rio de Janeiro, RJ, 1980.

C250 - TURN, J.L. - Structural Analysis, McGraw-Hill Book Company, New York, N.Y., 1969.

E261 - VANDERBILT, D. - Matrix Structural Analysis, Editora Quantum
Publishers Inc., New York, N.Y., 1976.

E270 - WALKER, A.C. - Design and Analysis of Cold-Formed Sections,
Editora John Wiley and Sons, New York, 1975.

E280 - WEAVER, W.D. Computer Programs for Structural Analysis, Van
Nostrand Company, Toronto, Canada, 1967.

E290 - TILLEMC, R. & EASLEY, J. & ROLFE, G. - Resistência dos Materiais.
Editora McGraw-Hill do Brasil, São Paulo, S.P., 1982.

A P Ê N D I C E A

```
15 PRINT "ANALISE DE PÓRTICO ESPACIAL"
20 PRINT "RESERVA DE MEMÓRIA PARA ARMAZENAGEM DAS VARIÁVEIS SUBSIDIARIAIS"
23 PRINT "READE M,N,L,RR,RJ,EE,PE"
25 PRINT "DADOS DA ESTRUTURA"
30 DATA 7,5,6,3,2100000,805000,.008
40 N = 6 * NJ + NE
.....43.....RESERVA DE MEMÓRIA PARA ARMAZENAGEM DAS VARIÁVEIS SUBSIDIARIAIS
45 DTA RL(6 * NJ),CRL(6 * NJ),MR(12,12),SM(12,12),S(6 * NJ,6 * NJ),
MD(12,12),AM(12,12),DT(N),DD(N),AE(6 * NJ),A(6 * NJ),R(12,12),
AC(6 * NJ),AR(6 * NJ),D(6 * NJ),MSR(12,12)
50 PRINT "NÚMERO DE BARRAS (M) = ";M; PRINT "NÚMERO DE GRAUS DE LIBERDADE (N) = ";N
70 PRINT "NÚMERO DE NÓS (NJ) = ";NJ; PRINT "MÓDULO DE ELASTICIDADE LÔNGITUDINAL (E) = ";E
80 PRINT "NÚMERO DE RESTRIÇÕES (NR) = ";NR; PRINT "MÓDULO DE ELASTICIDADE TRANSVERSA (O) = ";G
90 PRINT "NÚMERO DE NÓS RESTRITOS (RJ) = ";RJ; PRINT "PESO ESPECÍFICO DO MATERIAIS (PE) = ";PE
100 PRINT TAB(100)"COORDENADAS DOS NÓS"
110 PRINT TAB(30)"NO" X Y Z"
140 FOR J = 1 TO NJ
150 READ X(J),Y(J),Z(J)
```

```

160  DATA A,B,C,D,E,F,G,H,I,J,K,L,M,N,O,P,Q,R,S,T,U,V,W,X,Y,Z / 0,0,0,0,45,41,3,0,0,32,3,63,0,41,3,125,0,82,6 /
170  PRINT TAB(3)X(J),Y(J),Z(J)
180  NEXT J
190  PRINT /* DESIGNAÇÕES, PROPRIEDADES E ORIENTAÇÕES DAS BARRAS
   */
195  PRINT /* BARRA JJ JK AX IX TY IZ AA L CX CY C
Z */
200  FOR T = 1 TO M
205  GO TO 46000 REM /* SUBPROGRAMA VARIA SEÇÃO */
210  READ JJ(J),JK(J),AA(J)
220  DATA I,2,0,1,2,0,2,3,0,1,4,0,4,5,0,3,5,0,2,4,0 /
245  AX(J) = (A * B - C * D) # IY(J) = (B * A ^ 3 - D * C ^ 3) / 12
250  IZ(J) = (A * B ^ 3 - C * D ^ 3) / 12 # IX(J) = 2 * (A - T) ^ 2 *
(B - T) ^ 2 + T / (A + B - 2 * T)
255  XCL = XC(JK(J)) - XC(JJ(J)) # YCL = Y(JK(J)) - Y(JJ(J)) # ZCL = Z(J
K(J)) - Z(JJ(J))
260  L(T) = SQR (XCL ^ 2 + YCL ^ 2 + ZCL ^ 2)
270  CX = XCL / L(T) # CY = YCL / L(T) # CZ = ZCL / L(T)
280  PRINT T, JJ(J), JK(J), AX(J), IX(J), TY(J), IZ(J), AA(J), L(T), CX, CY
, CZ
300  Q = SQR (CX ^ 2 + CZ ^ 2)
310  IF AA(J) = 1 THEN GO SUB 3000
350  IF S > 0.001 THEN 410
360  R(T,2) = CY # R(T,4) = - CY # R(T,9) = 1
370  IF AA(J) > < 1 THEN 490

```

```

380 SQ = SQP * (XSP ^ 2 + ZSP ^ 2) # COS (A) = - XSP * CY / SQ # SIN
(A) = ZSP / Q#R(I,4) = - CY * COS (A) # R(I,6) = SIN (A) # R(I,7)
= CY * SIN (A) # R(I,9) = COS (A) # GOTO 490

410 R(I,1) = CX#R(I,2) = CY#R(I,3) = CZ#R(I,4) = - CX * CY / Q#R
(I,5) = Q#R(I,6) = - CY * CZ / Q#R(I,7) = - CZ / Q#R(I,8) = 0.0
# R(I,9) = CX / Q

420 IF A(I) <= 1 THEN 490

430 YGP = R(I,4) * XSP + R(I,5) * YSP + R(I,6) * ZSP
440 ZGP = R(I,2) * XSP + R(I,3) * YSP + R(I,9) * ZSP

450 SQ = SQP * (YGP ^ 2 + ZGP ^ 2)

460 COS (A) = YGP / SQ # SIN (A) = ZGP / SQ

470 R(I,4) = (- CX * CY * COS (A) - CZ * SIN (A)) / Q#R(I,5) =
Q * COS (A)

480 R(I,5) = (- CY * CZ * COS (A) + CX * SIN (A)) / Q#R(I,7) =
(CX * CY * SIN (A) - CZ * COS (A)) / Q#R(I,8) = - Q * SIN (A)
# R(I,9) = (CY * CZ * SIN (A) + CX * COS (A)) / Q

490 NEXT I

501 A = 0:#B = 0:#C = 0:#D = 0:# REM " ZERA-SE AS VARIÁVEIS DA SEÇÃO
PORQUE ESTÃO EM UMA ITERAÇÃO PARA I BARRAS. "

510 FOR J = 1 TO RJ

515 DATA 1,1,1,0,0,0,0,2,1,0,0,0,0,0,3,1,1,0,0,0
520 READ K

522 K1 = 6 # K + 5 # K2 = 6 # K + 4 # K3 = 6 # K + 3 # K4 = 6 # K + 2 # K
53 = 6 # K + 1 # K6 = 6 # K

524 RL(1),RL(K2),RL(K3),RL(K4),RL(K5),RL(K6)

550 NEXT J

```

```

560 CRL(J1) = J1 + 1 : 10
570 FOR K = 1 TO 6 * NJ
580 CRL(K) = CRL(K - 1) + RL(K)
590 NEXT K
600 REM *** GERACAO DA MATRIZ DE RIGIDEZ ***
610 FOR I = 1 TO M
620 J1 = 6 * JK(I) + 5 * J2 = 6 * JK(I) + 4 * J3 = 6 * JK(I) + 3 * J4 =
6 * JK(I) + 2 * J5 = 6 * JK(I) + 1 * J6 = 6 * JK(I)
630 K1 = 6 * JK(I) + 5 * K2 = 6 * JK(I) + 4 * K3 = 6 * JK(I) + 3 * K4 =
6 * JK(I) + 2 * K5 = 6 * JK(I) + 1 * K6 = 6 * JK(I)
640 M1 = (E * AX(I)) / L(I)*M5 = (G * TX(I)) / L(I)*M2 = (4 * E *
TY(I)) / L(I)*M3 = (4.5 * M2) / L(I)*M4 = (2 * M3) / L(I)*Z2 = (4
* E * TZ(I)) / L(I)
650 Z3 = (4.5 * Z2) / L(I)*Z4 = (2.0 * Z3) / L(I)
660 IF RL(J1) = 0 THEN J1 = J1 + CRL(J1): GOTO 670
665 IF RL(J1) < > 0 THEN J1 = N + CRL(J1)
670 IF RL(J2) = 0 THEN J2 = J2 + CRL(J2): GOTO 680
675 IF RL(J2) < > 0 THEN J2 = N + CRL(J2)
680 IF RL(J3) = 0 THEN J3 = J3 + CRL(J3): GOTO 690
685 IF RL(J3) < > 0 THEN J3 = N + CRL(J3)
690 IF RL(J4) = 0 THEN J4 = J4 + CRL(J4): GOTO 700
695 IF RL(J4) < > 0 THEN J4 = N + CRL(J4):
700 IF RL(J5) = 0 THEN J5 = J5 + CRL(J5): GOTO 710
705 IF RL(J5) < > 0 THEN J5 = N + CRL(J5)
710 IF RL(J6) = 0 THEN J6 = J6 + CRL(J6): GOTO 720
715 IF RL(J6) < > 0 THEN J6 = N + CRL(J6)

```

```

720 IF RL(K1) = 0 THEN K1 = K1 + CRL(K1); GOTO 730
725 IF RL(K1) < 0 THEN K1 = N + CRL(K1)
730 IF RL(K2) = 0 THEN K2 = K2 + CRL(K2); GOTO 740
735 IF RL(K2) < 0 THEN K2 = N + CRL(K2)
740 IF RL(K3) = 0 THEN K3 = K3 + CRL(K3); GOTO 750
745 IF RL(K3) < 0 THEN K3 = N + CRL(K3)
750 IF RL(K4) = 0 THEN K4 = K4 + CRL(K4); GOTO 760
755 IF RL(K4) < 0 THEN K4 = N + CRL(K4)
760 IF RL(K5) = 0 THEN K5 = K5 + CRL(K5); GOTO 770
765 IF RL(K5) < 0 THEN K5 = N + CRL(K5);
770 IF RL(K6) = 0 THEN K6 = K6 + CRL(K6); GOTO 780
775 IF RL(K6) < 0 THEN K6 = N + CRL(K6)
780 00SUB 6000: REM SUBPROGRAMA "MATRIZ DE RIGIDEZ"
800 FOR K = 1 TO 4
810 FOR J = 1 TO 12
820 MR(J,3 * K - 2) = SM(J,3 * K - 2) * R(T,4) + SM(J,3 * K - 1) *
R(T,4) + SM(J,3 * K) * R(T,2)
830 MR(J,3 * K - 1) = SM(J,3 * K - 2) * R(T,2) + SM(J,3 * K - 1) * R(T,5) + SM(J,3 * K) * R(T,3)
840 MR(J,3 * K) = SM(J,3 * K - 2) * R(T,3) + SM(J,3 * K - 1) * R(T,6) + SM(J,3 * K) * R(T,9)
850 NEXT J; NEXT K
870 FOR J = 1 TO 4
880 FOR K = 1 TO 12

```

890 MD(3 * J + 2, K) = R(I, 1) * MR(3 * J + 2, K) + R(I, 4) * MR(3 * J + 1, K) + R(I, 7) * MR(3 * J, K) + MD(3 * J - 1, K) = R(I, 2) * MR(3 * J - 2, K) + R(I, 5) * MR(3 * J - 1, K) + R(I, 8) * MR(3 * J, K) + MD(3 * J, K) = R(I, 3) * MR(3 * J - 2, K) + R(I, 6) * MR(3 * J - 1, K) + R(I, 9) * MR(3 * J, K)

892 NEXT K# NEXT J

895 IF RL(6 * JJ(I) + 5) < 0 THEN 920

900 S(J1, J1) = S(J1, J1) + MD(1, 1) * S(J2, J1) = S(J2, J1) + MD(2, 1) * S(J3, J1) = S(J3, J1) + MD(3, 1) * S(J4, J1) = S(J4, J1) + MD(4, 1) * S(J5, J1) = S(J5, J1) + MD(5, 1) * S(J6, J1) = S(J6, J1) + MD(6, 1) * S(K1, J1) = MD(7, 1) * S(K2, J1) = MD(8, 1) * S(K3, J1) = MD(9, 1)

910 S(K4, J1) = MD(10, 1) * S(K5, J1) = MD(11, 1) * S(K6, J1) = MD(12, 1)

920 IF RL(6 * JJ(I) + 4) < 0 THEN 950

930 S(J1, J2) = S(J1, J2) + MD(1, 2) * S(J2, J2) = S(J2, J2) + MD(2, 2)

940 S(J3, J2) = S(J3, J2) + MD(3, 2) * S(J4, J2) = S(J4, J2) + MD(4, 2) * S(J5, J2) = S(J5, J2) + MD(5, 2) * S(J6, J2) = S(J6, J2) + MD(6, 2) * S(K1, J2) = MD(7, 2) * S(K2, J2) = MD(8, 2) * S(K3, J2) = MD(9, 2) * S(K4, J2) = MD(10, 2) * S(K5, J2) = MD(11, 2) * S(K6, J2) = MD(12, 2)

950 IF RL(6 * JJ(I) + 3) < 0 THEN 980

960 S(J1, J3) = S(J1, J3) + MD(1, 3) * S(J2, J3) = S(J2, J3) + MD(2, 3)

970 S(J3, J3) = S(J3, J3) + MD(3, 3) * S(J4, J3) = S(J4, J3) + MD(4, 3) * S(J5, J3) = S(J5, J3) + MD(5, 3) * S(J6, J3) = S(J6, J3) + MD(6, 3) * S(K1, J3) = MD(7, 3)

975 S(K2, J3) = MD(8, 3) * S(K3, J3) = MD(9, 3) * S(K4, J3) = MD(10, 3) * S(K5, J3) = MD(11, 3) * S(K6, J3) = MD(12, 3)

980 IF RL(6 * JJ(I) + 2) < 0 THEN 1010

990 $S(J_1, J_4) = S(J_1, J_4) + MD(1, 4) \cdot S(J_2, J_4) = S(J_2, J_4) + MD(2, 4)$
 1000 $S(J_3, J_4) = S(J_3, J_4) + MD(3, 4) \cdot S(J_4, J_4) = S(J_4, J_4) + MD(4, 4) \cdot$
 $S(J_5, J_4) = S(J_5, J_4) + MD(5, 4) \cdot S(J_6, J_4) = S(J_6, J_4) + MD(6, 4) \cdot S(K_1,$
 $J_4) = MD(7, 4) \cdot S(K_2, J_4) = MD(8, 4) \cdot S(K_3, J_4) = MD(9, 4) \cdot S(K_4, J_4) = MD$
 $(10, 4) \cdot S(K_5, J_4) = MD(11, 4) \cdot S(K_6, J_4) = MD(12, 4)$
 1010 IF RL(6 * JJ(I) - 1) < 0 THEN 1040
 1020 $S(J_1, J_5) = S(J_1, J_5) + MD(1, 5) \cdot S(J_2, J_5) = S(J_2, J_5) + MD(2, 5)$
 1030 $S(J_3, J_5) = S(J_3, J_5) + MD(3, 5) \cdot S(J_4, J_5) = S(J_4, J_5) + MD(4, 5) \cdot$
 $S(J_5, J_5) = S(J_5, J_5) + MD(5, 5) \cdot S(J_6, J_5) = S(J_6, J_5) + MD(6, 5) \cdot S(K_1,$
 $J_5) = MD(7, 5) \cdot S(K_2, J_5) = MD(8, 5) \cdot S(K_3, J_5) = MD(9, 5) \cdot S(K_4, J_5) = MD$
 $(10, 5) \cdot S(K_5, J_5) = MD(11, 5) \cdot S(K_6, J_5) = MD(12, 5)$
 1040 IF RL(6 * JJ(I)) < 0 THEN 1070
 1050 $S(J_1, J_6) = S(J_1, J_6) + MD(1, 6) \cdot S(J_2, J_6) = S(J_2, J_6) + MD(2, 6)$
 1060 $S(J_3, J_6) = S(J_3, J_6) + MD(3, 6) \cdot S(J_4, J_6) = S(J_4, J_6) + MD(4, 6) \cdot$
 $S(J_5, J_6) = S(J_5, J_6) + MD(5, 6) \cdot S(J_6, J_6) = S(J_6, J_6) + MD(6, 6) \cdot S(K_1,$
 $J_6) = MD(7, 6) \cdot S(K_2, J_6) = MD(8, 6) \cdot S(K_3, J_6) = MD(9, 6) \cdot S(K_4, J_6) = MD$
 $(10, 6) \cdot S(K_5, J_6) = MD(11, 6) \cdot S(K_6, J_6) = MD(12, 6)$
 1070 IF RL(6 * JK(I) - 5) < 0 THEN 1100
 1080 $S(J_1, K_1) = MD(1, 7) \cdot S(J_2, K_1) = MD(2, 7) \cdot S(J_3, K_1) = MD(3, 7) \cdot S(J$
 $4, K_1) = MD(4, 7) \cdot S(J_5, K_1) = MD(5, 7) \cdot S(J_6, K_1) = MD(6, 7) \cdot S(K_1, K_1) =$
 $S(K_1, K_1) + MD(7, 7) \cdot S(K_2, K_1) = S(K_2, K_1) + MD(8, 7) \cdot S(K_3, K_1) = S(K_3,$
 $K_1) + MD(9, 7) \cdot S(K_4, K_1) = S(K_4, K_1) + MD(10, 7)$
 1090 $S(K_5, K_1) = S(K_5, K_1) + MD(11, 7) \cdot S(K_6, K_1) = S(K_6, K_1) + MD(12, 7)$
 1100 IF RL(6 * JK(I) - 4) < 0 THEN 1130

1110 $S(J_1, K_2) = MD(1, 8) * S(J_2, K_2) = MD(2, 8) * S(J_3, K_2) = MD(3, 8) * S(J_4, K_2) = MD(4, 8) * S(J_5, K_2) = MD(5, 8) * S(J_6, K_2) = MD(6, 8) * S(K_1, K_2) = S(K_1, K_2) + MD(7, 8) * S(K_2, K_2) = S(K_2, K_2) + MD(8, 8) * S(K_3, K_2) = S(K_3, K_2) + MD(9, 8) * S(K_4, K_2) = S(K_4, K_2) + MD(10, 8)$

1120 $S(K_5, K_2) = S(K_5, K_2) + MD(11, 8) * S(K_6, K_2) = S(K_6, K_2) + MD(12, 8)$

1130 IF RL(6) & JK(I) = 3) < -> 0 THEN 1160

1140 $S(J_1, K_3) = MD(1, 9) * S(J_2, K_3) = MD(2, 9) * S(J_3, K_3) = MD(3, 9) * S(J_4, K_3) = MD(4, 9) * S(J_5, K_3) = MD(5, 9) * S(J_6, K_3) = MD(6, 9) * S(K_1, K_3) = S(K_1, K_3) + MD(7, 9) * S(K_2, K_3) = S(K_2, K_3) + MD(8, 9) * S(K_3, K_3) = S(K_3, K_3) + MD(9, 9) * S(K_4, K_3) = S(K_4, K_3) + MD(10, 9)$

1150 $S(K_5, K_3) = S(K_5, K_3) + MD(11, 9) * S(K_6, K_3) = S(K_6, K_3) + MD(12, 9)$

1160 IF RL(6) & JK(I) = 2) < -> 0 THEN 1190

1170 $S(J_1, K_4) = MD(1, 10) * S(J_2, K_4) = MD(2, 10) * S(J_3, K_4) = MD(3, 10) * S(J_4, K_4) = MD(4, 10) * S(J_5, K_4) = MD(5, 10) * S(J_6, K_4) = MD(6, 10) * S(K_1, K_4) = S(K_1, K_4) + MD(7, 10) * S(K_2, K_4) = S(K_2, K_4) + MD(8, 10) * S(K_3, K_4) = S(K_3, K_4) + MD(9, 10) * S(K_4, K_4) = S(K_4, K_4) + MD(10, 10)$

1180 $S(K_5, K_4) = S(K_5, K_4) + MD(11, 10) * S(K_6, K_4) = S(K_6, K_4) + MD(12, 10)$

1190 IF RL(6) & JK(I) = 1) < -> 0 THEN 1220

1200 $S(J_1, K_5) = MD(1, 11) * S(J_2, K_5) = MD(2, 11) * S(J_3, K_5) = MD(3, 11) * S(J_4, K_5) = MD(4, 11) * S(J_5, K_5) = MD(5, 11) * S(J_6, K_5) = MD(6, 11) * S(K_1, K_5) = S(K_1, K_5) + MD(7, 11) * S(K_2, K_5) = S(K_2, K_5) + MD(8, 11) * S(K_3, K_5) = S(K_3, K_5) + MD(9, 11) * S(K_4, K_5) = S(K_4, K_5) + MD(10, 11)$

1210 $S(K_5, K_5) = S(K_5, K_5) + MD(11, 11) * S(K_6, K_5) = S(K_6, K_5) + MD(12, 11)$

```

1220 IF RL(6 * JK(I)) < 0 THEN 1250
1230 S(J1,K6) = MD(1,12)*S(J2,K6) = MD(2,12)*S(J3,K6) = MD(3,12)*
S(J4,K6) = MU(4,12)*S(J5,K6) = MD(5,12)*S(J6,K6) = MD(6,12)*S(K1,
K6) = S(K1,K6) + MD(7,12)*S(K2,K6) = S(K2,K6) + MD(8,12)*S(K3,K6)
= S(K3,K6) + MD(9,12)*S(K4,K6) = S(K4,K6) + MD(10,12)
1240 S(K5,K6) = S(K5,K6) + MD(11,12)*S(K6,K6) = S(K6,K6) + MD(12,
12)
1250 NEXT I
1260 GOSUB 8000: REM SUBPROGRAMA INVERTE MATRIZ
1490 REM *** DADOS DE CARGAS ***
1500 READ NL,I,NML
1510 DATA I,2
1540 IF NL,I = 0 THEN 1600
1550 REM *** ACOES APLICADAS NOS NOS EM RELACAO A COORDENADAS D
A ESTRUTURA ***
1560 FOR J = 1 TO NL,I
1562 DATA 4,204,-101,100,-4167,1930,12752
1564 READ K
1565 K1 = 6 * K - 5*K2 = 6 * K - 4*K3 = 6 * K - 3*K4 = 6 * K - 2*
K5 = 6 * K - 14K6 = 6 * K
1567 READ A(K1),A(K2),A(K3),A(K4),A(K5),A(K6)
1590 NEXT J
1600 IF NML = 0 THEN 1840
1610 REM *** ACOES NAS EXTREMIDADES DAS BARRAS ***
1620 FOR J = 1 TO NML
1623 READ T,RX,RY,RZ,MX,MY,MZ,L1,L2

```

```

1625 DATA 4,171,-101,84,-3485,1630 ,10664,15,60,33,5
,171,-101,84,-3485,1930,10664,60,33,15

1630 AML(I,1) = - RX * L2 / L(I):AML(I,2) = - RY * L2 ^ 2 / L(I)
) ^ 3 * (3 * L1 + L2) + 6 * MZ * L1 * L2 / L(I) ^ 3:AML(I,3) = -
RZ * L2 ^ 2 / L(I) ^ 3 * (3 * L1 + L2) - 6 * MY * L1 * L2 / L(I) ^ 3
3

1635 AML(I,6) = MZ * L2 * (2 * L1 - L2) / L(I) ^ 2 - RY * L1 * L2
^ 2 / L(I) ^ 2

1640 AML(I,4) = - MX * L2 / L(I):AML(I,5) = MY * L2 * (2 * L1 -
L2) / L(I) ^ 2 + RZ * L2 ^ 2 * L1 / L(I) ^ 2

1641 AML(I,7) = - RX * L1 / L(I):AML(I,8) = - RY * L1 ^ 2 / L(I)
) ^ 3 * (L1 + 3 * L2) - 6 * MZ * L1 * L2 / L(I) ^ 3

1642 AML(I,10) = - MX * L1 / L(I):AML(I,11) = MY * L1 * (2 * L2 -
L1) / L(I) ^ 2 + RZ * L1 ^ 2 * L2 / L(I) ^ 2

1643 AML(I,9) = - RZ * L1 ^ 2 * L(I) ^ 3 * (L1 + 3 * L2) + 6 * M
Y * L1 * L2 / L(I) ^ 3:AML(I,12) = MZ * L1 * (2 * L2 - L1) / L(I)
^ 2 + RY * L1 ^ 2 * L2 / L(I) ^ 2

1660 NEXT J

1666 GOSUB 5000: REM SUBPROGRAMA PESO PRÓPRIO - USE-O SEMPRE
QUE DESEJAR CONSIDERAR O PESO PRÓPRIO NA ANÁLISE -
1670 REM ***CONSTRUÇÃO DE VETORES ASSOCIADOS COM CARGAS ***
1690 IF NML = 0 THEN 1840

1700 FOR I = 1 TO M
1710 AE(6 * JJ(I) - 5) = AE(6 * JJ(I) - 5) - R(I,1) * AML(I,1) -
R(I,4) * AML(I,2) - R(I,7) * AML(I,3)
1720 AE(6 * JJ(I) - 4) = AE(6 * JJ(I) - 4) - R(I,2) * AML(I,4) -
R(I,5) * AML(I,2) - R(I,8) * AML(I,3)

```

1730 AE(6 * JJ(T) + 3) = AE(6 * JJ(T) + 3) + R(T,3) * AML(T,4) +
 R(T,6) * AML(T,2) + R(T,9) * AML(T,3)
 1740 AE(6 * JJ(T) + 2) = AE(6 * JJ(T) + 2) + R(T,4) * AML(T,4) +
 R(T,4) * AML(T,5) + R(T,7) * AML(T,6)
 1750 AE(6 * JJ(T) + 1) = AE(6 * JJ(T) + 1) + R(T,2) * AML(T,4) +
 R(T,5) * AML(T,5) + R(T,8) * AML(T,6)
 1760 AE(6 * JJ(T)) = AE(6 * JJ(T)) + R(T,3) * AML(T,4) + R(T,6) *
 AML(T,5) + R(T,9) * AML(T,6)
 1770 AE(6 * JK(T) + 5) = AE(6 * JK(T) + 5) + R(T,1) * AML(T,7) +
 R(T,4) * AML(T,8) + R(T,7) * AML(T,9)
 1780 AE(6 * JK(T) + 4) = AE(6 * JK(T) + 4) + R(T,2) * AML(T,7) +
 R(T,5) * AML(T,8) + R(T,8) * AML(T,9)
 1790 AE(6 * JK(T) + 3) = AE(6 * JK(T) + 3) + R(T,3) * AML(T,7) +
 R(T,6) * AML(T,8) + R(T,9) * AML(T,9)
 1800 AE(6 * JK(T) + 2) = AE(6 * JK(T) + 2) + R(T,1) * AML(T,10) +
 R(T,4) * AML(T,11) + R(T,7) * AML(T,12)
 1810 AE(6 * JK(T) + 1) = AE(6 * JK(T) + 1) + R(T,2) * AML(T,10) +
 R(T,5) * AML(T,11) + R(T,8) * AML(T,12)
 1820 AE(6 * JK(T)) = AE(6 * JK(T)) + R(T,3) * AML(T,10) + R(T,6) *
 AML(T,11) + R(T,9) * AML(T,12)
 1830 NEXT J
 1840 REM *** CARGAS NODALES COMBINADAS ***
 1850 FOR J = 1 TO N + NR
 1860 IF RL(J) = 0 THEN K = J + CRL(J)
 1865 IF RL(J) < 0 THEN K = N + CRL(J)
 1870 AC(K) = AC(J) + AE(J)
 1880 NEXT J

```

1890 REM *** CÁLCULO E SAÍDA DOS RESULTADOS ***
1960 FOR J = 1 TO N
1970 FOR K = 1 TO N
1980 D(J) = D(J) + S(J,K) * AC(K)
1990 NEXT K: NEXT J
2000 FOR K = N + 1 TO N - NR
2010 AR(K) = - AC(K)
2020 FOR J = 1 TO N
2030 AR(K) = AR(K) + S(K,J) * D(J)
2040 NEXT J: NEXT K
2050 J = N + 1
2060 FOR JE = N + NR TO 1 STEP - 1
2065 IF RL(JE) < > 0 THEN D(JE) = 0
2070 IF RL(JE) = 0 THEN J = J - 1 # D(JE) = D(J)
2080 NEXT JE
2090 K = N
2100 FOR KE = 1 TO N + NR
2110 IF RL(KE) = 1 THEN K = K + 1 # AR(KE) = AR(K)
2115 IF RL(KE) < > 1 THEN AR(KE) = 0
2120 NEXT KE
2140 REM *** DESLOCAMENTOS NODAIS E REAÇÕES DOS APOIOS ***
2160 FOR JE = 6 TO 6 + NJ STEP 6
2170 NEXT JE
2180 REM *** AÇÕES NAS EXTREMIDADES DAS BARRAS ***
2200 FOR I = 1 TO M
2210 J1 = 6 * JJ(I) + 5 # J2 = 6 * JJ(I) + 4 # J3 = 6 * JJ(I) + 3 # J4 =
6 * JJ(I) + 2 # J5 = 6 * JJ(I) + 1 # J6 = 6 * JJ(I)

```

```

2211 K1 = 6 * JK(I) + 5*K2 = 6 * JK(I) + 0*K3 = 6 * JK(I) + 3*K4 =
6 * JK(I) + PUXS = 6 * JK(I) + 1*K6 = 6 * JK(I)

2213 M1 = E * AX(I) / L(I)*M5 = (G * IX(I)) / L(I)*M2 = (4 * E *
IX(I)) / L(I)*M3 = (4.5 * M2) / L(I)*M4 = (2 * M3) / L(I)

2215 Z2 = (A + E * TZ(I)) / L(I)*Z3 = (1.5 * Z2) / L(I)*Z4 = (2 *
Z3) / L(I)

2220 GOSUB 60000: REM *** SUBPROGRAMA MATRIZ DE RIGIDEZ ***
2230 FOR K = 3 TO 4
2240 FOR J = 1 TO 12
2250 MSR(J,3 * K - 2) = SM(J,3 * K - 2) * R(I,1) + SM(J,3 * K - 1)
Y * R(I,4) + SM(J,3 * K) * R(I,2)
.....Y * R(I,4) + SM(J,3 * K) * R(I,2) + SM(J,3 * K - 1)
Y * R(I,5) + SM(J,3 * K) * R(I,3)
2260 MSR(J,3 * K - 1) = SM(J,3 * K - 2) * R(I,2) + SM(J,3 * K - 1)
Y * R(I,5) + SM(J,3 * K) * R(I,3)
2270 MSR(J,3 * K) = SM(J,3 * K - 2) * R(I,3) + SM(J,3 * K - 1) *
R(I,6) + SM(J,3 * K) * R(I,9)
2280 NEXT J: NEXT K
2290 FOR J = 1 TO 12
2310 AM(I,J) = AML(I,J) + MSR(J,1) * D(J1) + MSR(J,2) * D(J2) + M
SR(J,3) * D(J3) + MSR(J,4) * D(J4) + MSR(J,5) * D(J5) + MSR(J,6) *
D(J6) + MSR(J,7) * D(K1) + MSR(J,8) * D(K2) + MSR(J,9) * D(K3) +
MSR(J,10) * D(K4) + MSR(J,11) * D(K5) + MSR(J,12) * D(K6)
2315 PRINT AM(I,J)
2320 NEXT J
2330 NEXT I: PRINT
2340 GOSUB 20000: REM      SUBPROGRAMA GUARDA AÇÕES -- USE-O SEMPRE
E QUE DESEJAR ARQUITVAR AS AÇÕES NAS EXTREMIDADES DAS BARRAS --

```

A P P E N D I C E B

```

6000 PRINT "....."
6010 PRINT "..... SUBPROGRAMA MATRIX RIDGEZ ....."
6020 PRINT "....."
.....  

6150 SM(2,2)= Z4 : SM(3,3)= -Z4 : SM(2,3)= -Z4 : SM(3,2)= -Z4
6160 SM(2,6)= Z3 : SM(6,2)= -Z3 : SM(2,12)= Z3 : SM(12,2)= Z3
6200 SM(6,3)=-Z3 : SM(8,6)= -Z3 : SM(8,12)=-Z3 : SM(12,8)=-Z3
6250 SM(3,3)= M4 : SM(9,9)= -M4 : SM(3,9)= -M4 : SM(9,3)= -M4
6280 SH(3,5)=-M3 : SM(5,3)= -M3 : SM(3,11)=-M3 : SM(11,3)=-M3
6300 SM(4,4)= M5 : SM(10,10)=M5 : SM(4,10)=-M5 : SM(10,4)=-M5
6350 SM(5,5)= M2 : SM(11,11)=M2 : SM(5,11)= M2/2 : SM(11,5)= M2/2
6400 SM(5,9)= M3 : SM(9,5)= -M3 : SM(9,11)= M3 : SM(11,9)= M3
6450 SM(6,6)= Z2 : SM(12,12)=Z2 : SM(6,12)= Z2/2 : SM(12,6)= Z2/2
6500 RETURN

```

APPENDICE C

```

05 PRINT" "
07 PRINT" SUBPROGRAMA TRIUERTE MATRIZ "
09 PRINT" "
10 NM1 = N-1
20 FOR T = 1 TO N
.....DT = S(T,1)
40 DD = ABS(DT)
50 IF DD<=0.00001 THEN GOTO 190
60 FOR J = 1 TO NM1
70 J1 = J+1
80 S(T,J1) = S(T,J1)/DT
90 NEXT J
100 S(T,N) = 1/DT
110 FOR L = 1 TO N
120 IF T = L THEN 130
130 U = S(L,1)
140 FOR J = 1 TO NM1 : J1 = J+1
150 S(L,J1) = U(T,J1)-U*S(T,J)
160 NEXT J
170 S(L,N) = -U/DT
180 NEXT L : NEXT T

```

A P E N D I C E D

50000 PRINT "THE PROGRAM NAME IS PEGO PROPTO" : K=0
 50010 PRINT "THE PROGRAM NAME IS PEGO PROPTO" : K=0
 50100 PRINT "THE PROGRAM NAME IS PEGO PROPTO" : K=0
 51000 FOR T = 3 TO M : W = AX(T) : K=PE
 52000 AML(T,2)= AML(T,2)+ML(T)/2 : AML(T,6)= AML(T,6)+ML(T)^2/12
 53000 AML(T,8)= AML(T,8)+ML(T)/2 : AML(T,12)= AML(T,12)+ML(T)^2/12
 54000 NEXT T : RETURN

A P E N D I C E E

50000 PRINT "THE PROGRAM NAME IS ACODES NAME GENERATOR" : K=0
 50010 PRINT "THE PROGRAM NAME IS ACODES NAME GENERATOR" : K=0
 50020 PRINT "THE PROGRAM NAME IS ACODES NAME GENERATOR" : K=0
 20000 RY=100 : RX=150 : RZ=51 : MX=-2560 : YM=0 : ZM=7000
 200100 YM(T,1)=E1+RX*AM(T,2)=E2+RY : YM(T,3)=E3+RZ : YM(T,4)=E4+MX
 200200 YM(T,5)=E5+(E2*RY)+YM+(RZ*(X-L1)) :
 YM(X-L1)=E5+(E2*RY)+YM+(RZ*(X-L1))
 200310 T1=YM(T,1)/RY(X(T)) : T2=YM(T,2)*RY(X(T))*YG/(2*TZ(T)*(A-C))
 200320 T3=YM(T,3)*RY(X(T))*ZG/(2*TY(T)*B) : T4=YM(T,4)/(C*B*T)
 200330 T5=YM(T,5)/RY(X(T)) : T6=YM(T,6)*B/(2*TZ(T))
 200340 T8=YM(T,2)*T6(D*T)/(2*TZ(T)) : T9=YM(T,3)*T6(C*T)/(2*TY(T))
 200350 T11=YM(T,5)*C/(2*TY(T)) : T12=YM(T,6)*D/(2*TZ(T)) : RETURN

A P É N D I C E F

```
30000 PRINT//  
30005 PRINT// SUBPROGRAMA GUARDA AÇÕES //  
30008 PRINT//  
30010 DB = "" : REM CTRL+D  
30020 PRINT DB ; " OPEN AM "  
30030 PRINT DB ; " WRITE AM "  
30040 FOR I = 1 TO 7  
30050 FOR T = 1 TO 12  
30060 PRINT AM (I,T)  
30070 NEXT J  
30080 NEXT T  
30090 PRINT DB ; " CLOSE AM "  
30100 RETURN
```

A P E N D I C E

2400 PRINT "AUXILIAR PARA O PROGRAMA DE CONTROLE DA MACHINA"
2410 PRINT "N.º 000 SUBPROGRAMA LE AGOES N.º 000"
2420 PRINT "LIAO LIAO LIAO LIAO LIAO LIAO LIAO LIAO LIAO LIAO"
2430 DIM AM(7,12)
2440 DS=0 : REM CTRL.D
2450 PRINT DL: "OPEN AM"
2460 PRINT DL: "READ AM"
.....
2470 FOR I=1 TO 7 : FOR J=1 TO 12
2480 INPUT AM(I,J)
2490 NEXT J : NEXT I
2495 PRINT DL: "CLOSE AM": RETURN

A P E N D I C E H

31000 PRINT "VERIFICAR GUARDA TENSÃO MAX"
31005 PRINT "GUARDA TENSÃO MAX"
31008 PRINT "TENSÃO MAX"
31010 DS=0 : REM CTRL.D
31020 PRINT "OPEN TENSÃO MAX"
31025 PRINT "UPDATE TENSÃO MAX"
31030 FOR I=1 TO 7
31035 PRINT "TENSÃO MAX"
31040 NEXT I
31050 PRINT DL: "CLOSE TENSÃO MAX": RETURN

APÊNDICE I

```

9990 PRINT " "
9991 PRINT " "
9992 PRINT " "
9993 PRINT " "
9994 PRINT " "
9995 PRINT " "
9996 PRINT " "
9997 PRINT " "
9998 PRINT " "
9999 PRINT " "

00010 SUBPROGRAMA MAIN DA SEÇÃO 1
00011 IF T = 1 THEN A = 2 * T + T1 + GOTO 10000
00012 IF T = 2 OR T = 3 THEN A = 3 * T + T1 + GOTO 10060
00013 IF T = 4 OR T = 5 THEN A = 6 * T + T2 + GOTO 10070
00014 IF T = 6 THEN A = 2 * GOTO 10060
00015 IF T = 7 THEN A = 2
00016 C = A - 7 * T + D = B - 2 * T + AP = (A - T) * (B - T)
00017 RX(T) = (A * B - C * D) * TY(T) = (B * A ^ 3 - D * C ^ 3) / 12
00018 TX(T) = (A * B ^ 3 - C * D ^ 3) / 12
00019 TX(T) = 12 * (A - T) ^ 2 * (B - T) ^ 2 * T) / (A + B - 2 * T)
00020 RETURN

```

A P Ê N D I C E J

```

2500 PRINT // "-----"
2505 PRINT // "          SUBPROGRAMA TENSÃO MÁXIMA      -----"
2510 PRINT // "-----"
2510 DIM TM(200),C(16)
2520 FOR I = 1 TO M
2530 GOSUB 10000:TMX = 0
2535 E1 = AM(I,1)*E2 = AM(I,2)*E3 = AM(I,3)*E4 = AM(I,4)*E5 = AM(I,5)*E6 = AM(I,6)
2540 ZG = (2 * A * (D + T) + D ^ 2) / (4 * (A + D)):YG = (2 * B * (C + T) + C ^ 2) / (4 * (B + C))
2542 T1 = AM(I,1) / AX(I):T2 = AM(I,2) * AX(I) * YG / (2 * IZ(I) * (A - C))
2544 T3 = AM(I,3) * AX(I) * ZG / (2 * IY(I) * (B - D)):T4 = AM(I,4) / (2 * AP * T)
2546 C2 = AM(I,2) * T * (D + T) / (2 * IZ(I))
2548 C3 = AM(I,3) * T * (C + T) / (2 * IY(I))
2549 IF T = 1 OR T = 2 OR T = 6 THEN FOR X = 0 TO 1: GOTO 2560
2550 IF T = 4 OR T = 7 THEN FOR X = 70 TO L(I): GOTO 2560
2552 IF T = 5 THEN FOR X = 0 TO L(I) STEP 5: GOTO 2560
2553 IF T = 3 THEN FOR X = 0 TO L(I) STEP 3: GOTO 2560
2555 FOR X = 0 TO L(I)
2560 YM = AM(I,5) + AM(I,3) * X:ZM = AM(I,6) - AM(I,2) * X
2570 T5 = YM * A / (2 * IY(I)):T6 = ZM * B / (2 * IZ(I))
2580 C5 = YM * C / (2 * IY(I)):C6 = ZM * D / (2 * IZ(I))
2590 IF T = 4 AND X > = 15 THEN L1 = 15: GOSUB 20000: GOTO 2610

```

2600 IF T1 = 5 AND X > = 60 THEN L1 = 60: GOSUB 20000: GOTO 2610
 Projektor DE RUE TO 13
 2620 ON N GOTO 2630, 2640, 2650, 2660, 2670, 2680, 2690, 2700, 2710, 2720,
 2730, 2740, 2750, 2760, 2770, 2780
 2630 TX = - T1 + T5 + T6: TY = 0: GOTO 2790
 2640 TX = - T1 + T6: TY = T3 + T4: GOTO 2790
 2650 TX = - T1 - T5 + T6: TY = 0: GOTO 2790
 2660 TX = - T1 - T5: TY = T2 - T4: GOTO 2790
 2670 TX = - T1 - T5 - T6: TY = 0: GOTO 2790
 2680 TX = - T1 - T6: TY = T3 - T4: GOTO 2790
 2690 TX = - T1 + T5 - T6: TY = 0: GOTO 2790
 2700 TX = - T1 + T5: TY = T2 + T4: GOTO 2790
 2710 TX = - T1 - C5 + C6: TY = SQR ((C3 + T4) ^ 2 + C2 ^ 2): GOTO
 2790
 2720 TX = - T1 + C6: TY = SQR ((T3 + T4) ^ 2 + C2 ^ 2): GOTO 2790

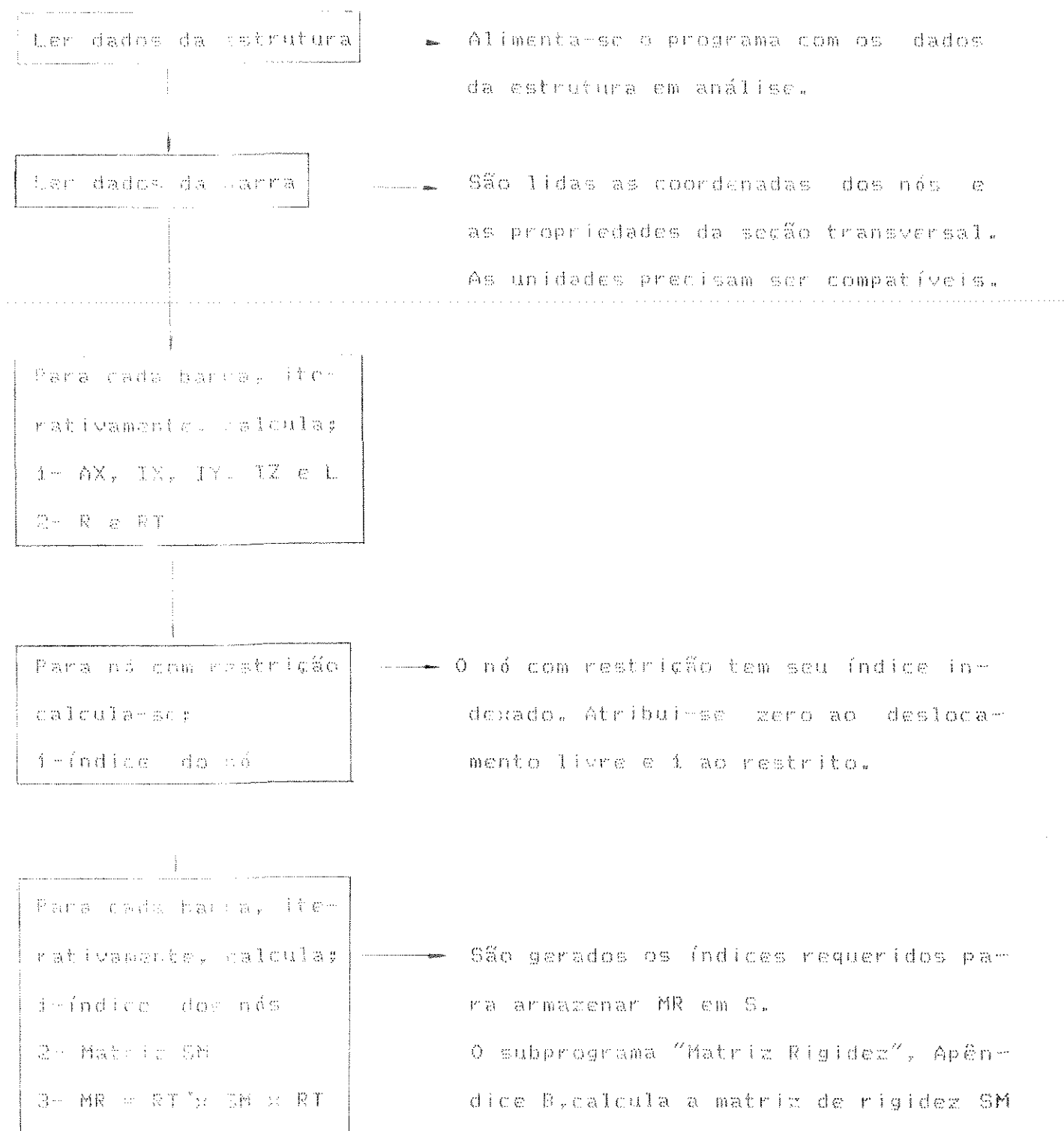
 2730 TX = - T1 + C5 + C6: TY = SQR ((T4 - C3) ^ 2 + C2 ^ 2): GOTO
 2790
 2740 TX = - T1 + C5: TY = SQR ((2 + T4) ^ 2 + C3 ^ 2): GOTO 2790
 2750 TX = - T1 + C5 - C6: TY = SQR ((T4 + C3) ^ 2 + C2 ^ 2): GOTO
 2790
 2760 TX = - T1 - C6: TY = SQR (CQRT3 - T4) ^ 2 + C2 ^ 2): GOTO 27
 90
 2770 TX = - T1 - C5 - C6: TY = SQR ((C3 - T4) ^ 2 + C2 ^ 2): GOTO
 2790
 2780 TX = - T1 - C5: TY = SQR ((T2 - T4) ^ 2 + C3 ^ 2): GOTO 2790

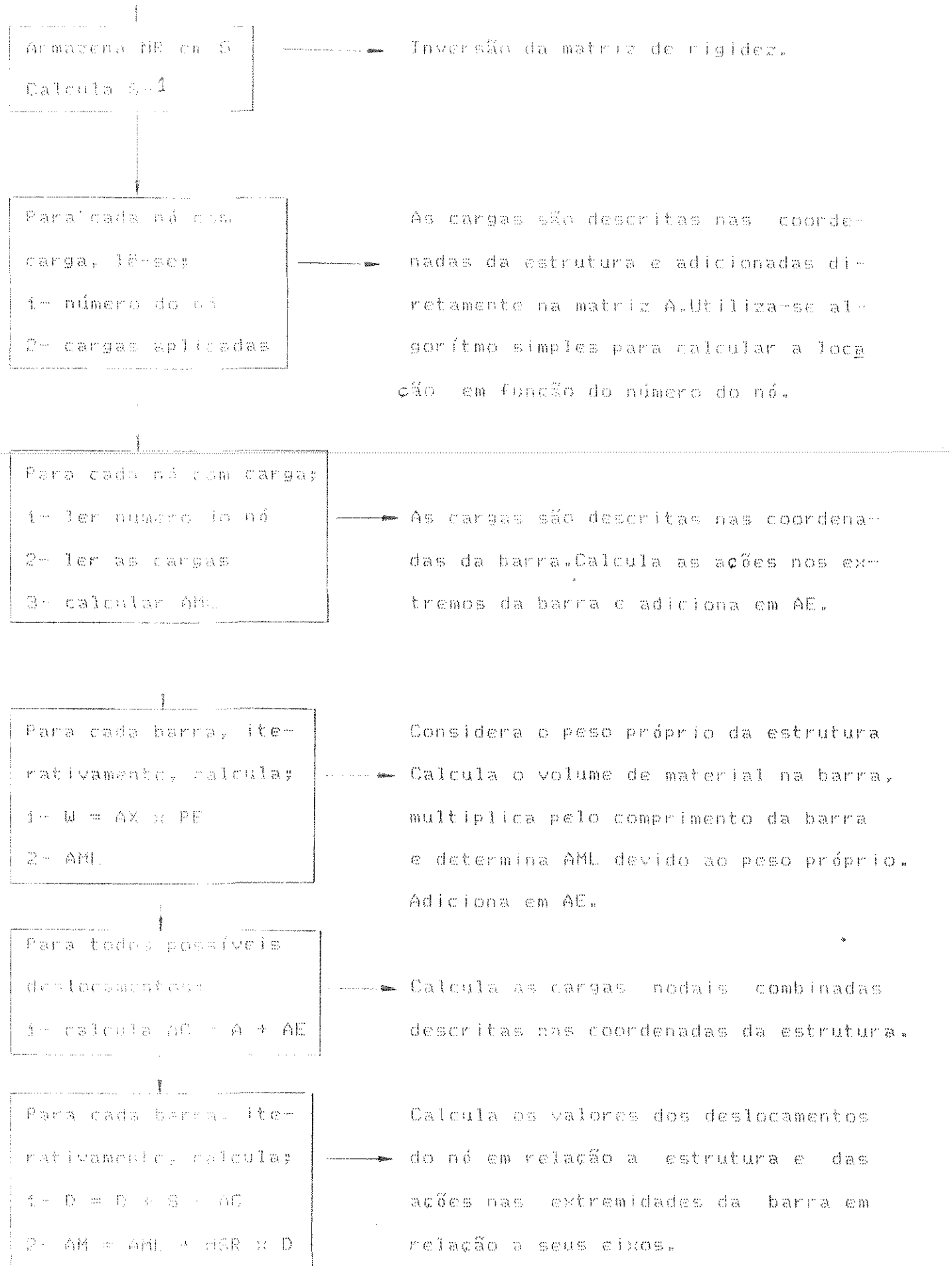
2790 C(N) = SQR ((TX / 2) ^ 2 + TY ^ 2)
2800 IF C(N) > TMAX THEN TMAX = C(N)
2810 NEXT N:K = ABS (X - 1)*TM(X) = TMAX
2820 IF TM(X) > TM(K) THEN TMAX = TM(X): REM TM(X) E A TENSÃ
O MÁXIMA NA DIREÇÃO X
2830 NEXT X
2850 NEXT T: STOP

INTERVALS OF RIGIDITY OF BARRA DO PARTICO ESPACIAL, SM(12x12)

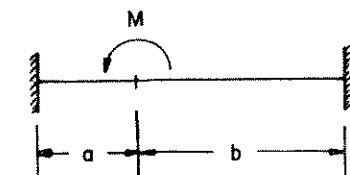
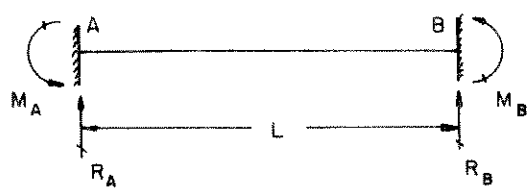
EAX	0	0	0	0	0	-EAX	0	0	0	0	0	0
L						L						
0	12EZ	0	0	0	6EZ	0	-12EZ	0	0	0	0	6EZ
	L^3				L^2		L^3					L^2
0	0	12EZ	0	-6EY	0	0	0	-12EZ	0	-6EY	0	0
	L^3			L^2			L^3			L^2		
0	0	0	GTX	0	0	0	0	0	-GTX	0	0	0
			L						L			
0	0	-GATY	0	4ETY	0	0	0	4ETY	0	2ETY	0	0
		L^2		L				L^2		L		
0	6EZ	0	0	0	4EZ	0	-6EZ	0	0	0	0	2EZ
	L^2				L		L^2					L
-EAX	0	0	0	0	0	EAX	0	0	0	0	0	0
L						L						
0	-12EZ	0	0	0	-6EZ	0	12EZ	0	0	0	0	-6EZ
	L^3				L^2		L^3					L^2
0	0	-12TY	0	6EY	0	0	0	12TY	0	4ETY	0	0
		L^3		L^2				L^3		L^2		
0	0	0	-GTX	0	0	0	0	0	GTX	0	0	0
			L						L			
0	0	-GATY	0	2ETY	0	0	0	6EY	0	4ETY	0	0
		L^2		L				L^2		L		
0	6EZ	0	0	0	2EZ	0	-6EZ	0	0	0	0	4EZ
	L^2				L		L^2					L

Diagrama de Blocos da Análise de Partículas Espaciais





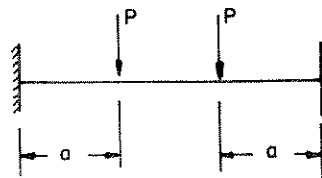
APÊNDICE N
Ações de engastamento



$$M_A = M_b (2a - b) / L^2$$

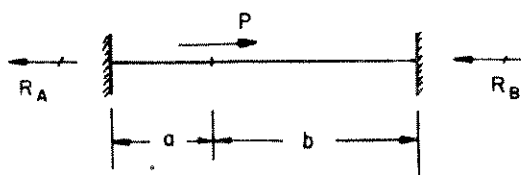
$$M_B = Ma (2b - a) / L^2$$

$$R_A = -R_B = 6Mab / L^3$$



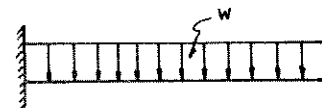
$$M_A = -M_B = Pa(L-a) / L$$

$$R_A = R_B = P$$



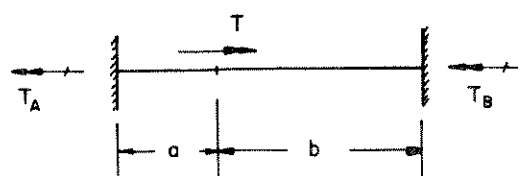
$$R_A = Pb / L$$

$$R_B = Pa / L$$



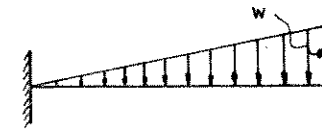
$$M_A = -M_B = wL^2 / 12$$

$$R_A = R_B = wL / 2$$



$$T_A = Tb / L$$

$$T_B = Ta / L$$

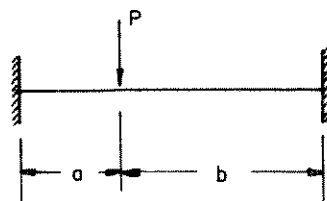


$$M_A = wL^2 / 30$$

$$M_B = -wL^2 / 20$$

$$R_A = 3wL / 20$$

$$R_B = 7wL / 20$$

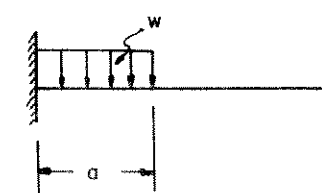


$$M_A = Pab^2 / L^2$$

$$M_B = -Pab^2 / L^2$$

$$R_A = Pb(3a+b) / L^3$$

$$R_B = Pb(a+3b) / L^3$$



$$M_A = wa^2 (6L - 8aL + 3a^2) / 12L^2$$

$$M_B = -wa^3 (4L - 3a) / 12L^2$$

$$R_A = wa (2L^3 - 2a^2 L + a^3) / 2L^3$$

$$R_B = wa^3 (2L - a) / 2L^3$$

A P É N D I C E 0

VARIÁVEIS DA ESTRUTURA

TENSÕES MÁXIMAS NAS BARRAS

- CODIFICADAS -

C1	C2	C3	C4	C5	C6	C7	TMAX1	TMAX2	TMAX3	TMAX4	TMAX5	TMAX6	TMAX7
-1	-1	-1	-1	-1	-1	-1	4317	5989	2185	7595	5468	2201	5320
-1	-1	-1	-1	-1	-1	1	4274	5834	1547	6678	4775	1985	4692
-1	-1	-1	-1	-1	1	-1	3064	4531	1803	7217	5424	1870	4980
-1	-1	-1	-1	-1	1	1	3026	4411	1644	6377	4741	1686	4438
-1	-1	-1	-1	1	-1	-1	3803	5359	1965	6633	5422	1992	5777
-1	-1	-1	-1	1	-1	1	3761	5220	1907	5897	4741	1810	5366
-1	-1	-1	-1	1	1	-1	2737	4039	1621	6285	5373	1702	5172
-1	-1	-1	-1	1	1	1	2692	3941	1501	5580	4700	1545	4727
-1	-1	-1	1	-1	-1	-1	4194	5063	2163	6479	4616	1921	4662
-1	-1	-1	1	-1	-1	1	4241	5170	2446	7347	5261	2142	5261
-1	-1	-1	1	-1	1	-1	3037	3824	2308	6907	5122	1751	4853
-1	-1	-1	1	-1	1	1	2989	3748	2054	6124	4506	1595	4348
-1	-1	-1	1	1	-1	-1	3792	4753	2466	6471	5217	1932	5720
-1	-1	-1	1	1	-1	1	3717	4650	2212	5770	4580	1763	5188
-1	-1	-1	1	1	1	-1	2607	3359	2225	5924	5050	1554	4797
-1	-1	-1	1	1	1	1	2683	3453	2033	5352	4466	1462	4547
-1	-1	1	-1	-1	-1	-1	4276	5786	1987	5969	4146	1760	4167
-1	-1	1	-1	-1	-1	1	4244	5628	1887	5199	3601	1503	3617

-1	-1	1	-1	1	1	-1	2873	4214	1516	5690	4108	1458	3949
-1	-1	1	-1	-1	1	-1	2841	4086	1420	4981	3574	1309	3473
-1	-1	1	-1	1	-1	-1	3729	5133	1792	5355	4119	1617	4926
-1	-1	1	-1	1	-1	1	3696	4986	1699	4715	3579	1467	4398
-1	-1	1	-1	1	1	-1	2645	3888	1398	5054	4081	1376	4391
-1	-1	1	-1	1	1	1	2611	3774	1312	4464	3549	1244	3957
-1	-1	1	1	-1	-1	-1	4182	5051	1862	5810	4016	1729	4149
-1	-1	1	1	-1	-1	1	4131	4936	1628	5072	3503	1568	3620
-1	-1	1	1	-1	1	-1	2976	3755	1783	5526	3923	1435	3944
-1	-1	1	1	-1	1	1	2932	3665	1567	4847	3430	1300	3454
-1	-1	1	1	1	-1	-1	3689	4593	1954	5244	3989	1586	4771
-1	-1	1	1	1	-1	1	3640	4479	1707	4626	3480	1444	4273
-1	-1	1	1	1	1	-1	2631	3426	1770	4868	3893	1316	4206
-1	-1	1	1	1	1	1	2589	3343	1581	4319	3405	1195	3804
-1	1	-1	-1	-1	-1	-1	3526	5003	1360	7486	5472	2757	5667
-1	1	-1	-1	-1	-1	1	3492	4902	1262	6588	4774	2468	5858
-1	1	-1	-1	-1	1	-1	2520	3622	1187	7091	5440	2483	5162
-1	1	-1	-1	-1	1	1	2476	3564	1065	6272	4750	2224	4653
-1	1	-1	-1	1	-1	-1	3295	4379	1304	6491	5442	2461	6236
-1	1	-1	-1	1	-1	1	3237	4310	1182	5782	4751	2223	5685
-1	1	-1	-1	1	1	-1	2402	3144	1109	6405	5400	2158	5334
-1	1	-1	-1	1	1	1	2337	3085	1004	5436	4718	1954	4914
-1	1	-1	1	-1	-1	-1	3436	4409	2105	7175	5309	2612	5517
-1	1	-1	1	-1	-1	1	3395	4344	1957	6337	4651	2366	4946
-1	1	-1	1	-1	1	-1	2471	3124	1968	6703	5193	2158	4956
-1	1	-1	1	-1	1	1	2428	3095	1773	5955	4559	1961	4490
-1	1	-1	1	1	-1	-1	3294	3951	2026	6289	5268	2365	5949

-1	1	-1	1	1	-1	1	3227	3905	1830	5614	4618	2153	5443
-1	1	-1	1	1	-1	1	2424	2764	1783	5829	5143	1928	5019
-1	1	-1	1	1	-1	1	2349	2755	1619	5214	4519	1759	4644
-1	-1	1	-1	-1	-1	-1	3466	4914	1170	5893	4139	2147	4574
-1	-1	1	-1	-1	-1	1	3472	4794	1098	5136	3593	1910	4028
-1	-1	1	-1	-1	-1	1	2457	3607	929	5641	4113	1935	4249
-1	-1	1	-1	-1	-1	1	2427	3524	833	4938	3572	1717	3780
-1	-1	1	-1	1	-1	-1	3172	4313	1078	5254	4122	1963	5273
-1	-1	1	-1	1	-1	1	3135	4219	1002	4630	3579	1765	4748
-1	-1	1	-1	1	-1	-1	2253	3122	889	4923	4091	1725	4613
-1	-1	1	-1	1	-1	1	2209	3067	800	4352	3555	1552	4320
-1	-1	1	1	-1	-1	-1	3389	4383	1712	5694	4039	2103	4479
-1	-1	1	1	-1	-1	1	3361	4296	1516	4979	3517	1896	3959
-1	-1	1	1	-1	-1	-1	2389	3156	1585	5385	3961	1751	4109
-1	-1	1	1	-1	-1	1	2355	3103	1393	4734	3456	1577	3673
-1	-1	1	1	1	-1	-1	3151	3925	1624	5112	4016	1927	5065
-1	-1	1	1	1	-1	1	3106	3854	1453	4515	3500	1746	4576
-1	-1	1	1	1	1	-1	2258	2801	1445	4751	3934	1580	4376
-1	-1	1	1	1	1	1	2206	2766	1299	4215	3435	1431	3996
1	1	-1	-1	-1	-1	-1	3265	4861	1842	7524	5467	2692	5272
1	1	-1	-1	-1	-1	1	3231	4759	1748	6618	4773	2442	4676
1	1	-1	-1	-1	-1	1	2297	3578	1445	7144	5426	2359	4859
1	1	-1	-1	-1	-1	1	2263	3510	1352	6313	4741	2141	4356
1	1	-1	-1	1	-1	-1	2884	4491	1717	6626	5428	2473	5819
1	1	-1	-1	1	-1	1	2854	4395	1627	5895	4742	2254	5271
1	1	-1	-1	1	-1	-1	2015	3304	1338	6158	5377	2124	5043
1	1	-1	-1	1	-1	1	1988	3247	1253	5482	4702	1937	4616

1	1	-1	1	-1	-1	-1	3202	4110	1756	7272	5257	2277	5213
1	1	-1	1	-1	-1	-1	3160	4054	1527	6414	4611	2078	4645
1	1	-1	1	-1	-1	-1	2263	2929	1695	6829	5124	1935	4737
1	1	-1	1	-1	-1	-1	2224	2903	1490	6055	4505	1768	4267
1	1	-1	1	-1	-1	-1	2903	3901	1854	6461	5218	2416	5604
1	1	-1	1	-1	-1	-1	2862	3843	1641	5758	4579	1934	5091
1	1	-1	1	-1	-1	-1	2051	2796	1734	5885	5081	1780	4792
1	1	-1	1	-1	-1	-1	2014	2772	1542	5274	4469	1632	4405
1	1	1	-1	-1	-1	-1	3236	4754	1647	5916	4142	2200	4182
1	1	1	-1	-1	-1	-1	3206	4640	1574	5154	3597	1990	3656
1	1	1	-1	-1	-1	-1	2265	3529	1251	5673	4112	1919	3935
1	1	1	-1	-1	-1	-1	2235	3441	1179	4963	3573	1731	3473
1	1	1	-1	-1	-1	-1	2839	4357	1527	5347	4118	2033	4841
1	1	1	-1	-1	-1	-1	2613	4247	1455	4706	3578	1845	4331
1	1	1	-1	-1	-1	-1	1972	3239	1458	4973	4082	1743	4290
1	1	1	-1	-1	-1	-1	1949	3161	1010	4403	3550	1581	3874
1	1	1	-1	-1	-1	-1	3156	4088	1292	5754	4009	1878	4162
1	1	1	-1	-1	-1	-1	3120	4016	1202	5495	3496	1708	3656
1	1	1	-1	-1	-1	-1	2247	2952	1260	5463	3919	1600	3864
1	1	1	-1	-1	-1	-1	2182	2905	1087	4795	3425	1452	3431
1	1	1	-1	-1	-1	-1	2834	3839	1415	5234	3985	1749	4687
1	1	1	-1	-1	-1	-1	2799	3763	1253	4612	3476	1594	4206
1	1	1	-1	-1	-1	-1	1988	2794	1340	4828	3893	1476	4105
1	1	1	-1	-1	-1	-1	1956	2745	1179	4287	3404	1345	3721
1	1	-1	-1	-1	-1	-1	2595	4361	1393	7459	5463	2983	5614
1	1	-1	-1	-1	-1	-1	2579	4282	1297	6565	4767	2683	5027
1	1	-1	-1	-1	-1	-1	1792	3116	1417	7065	5431	2674	5081

1	1	-1	-1	-1	1	1	1772	3077	1026	6249	4742	2406	45
1	1	-1	-1	1	-1	-1	2520	3390	1300	6507	5434	2747	61
1	1	-1	-1	1	-1	1	2478	3841	1216	5794	4744	2484	56
1	1	-1	-1	1	1	-1	1835	2736	1043	6020	5392	2414	52
1	1	-1	-1	1	1	1	1785	2725	947	5363	4712	2187	48
1	1	-1	1	-1	-1	-1	2584	3777	1859	7154	5287	2605	54
1	1	-1	1	-1	-1	1	2550	3735	1645	6319	4631	2353	49
1	1	-1	1	-1	1	-1	1803	2623	1709	6684	5170	2201	48
1	1	-1	1	-1	1	1	1775	2614	1527	5938	4539	2002	44
1	1	-1	1	1	-1	-1	1818	2377	1424	5138	4504	1847	45
1	1	-1	1	1	-1	1	2545	3423	1574	5625	4603	2160	53
1	1	-1	1	1	1	-1	1873	2367	1583	5732	5126	2023	49
1	1	-1	1	1	1	1	2551	3449	1762	6302	5250	2372	58
1	1	1	-1	-1	-1	-1	2595	4306	1192	5875	4132	2365	45
1	1	1	-1	-1	-1	1	2587	4206	1118	5118	3587	2146	40
1	1	1	-1	-1	1	-1	1782	3128	926	5619	4107	2143	42
1	1	1	-1	-1	1	1	1772	3064	854	4919	3567	1886	37
1	1	1	-1	1	-1	-1	2434	3860	1112	5264	4117	2200	52
1	1	1	-1	1	-1	1	2409	3782	1041	4635	3575	1979	46
1	1	1	-1	1	1	-1	1719	2767	856	4872	4036	1929	45
1	1	1	-1	1	1	1	1683	2726	790	4322	3554	1737	41
1	1	1	1	-1	-1	-1	2563	3790	1407	5676	4022	2095	44
1	1	1	1	-1	-1	1	2544	3725	1226	4963	3503	1884	39
1	1	1	1	-1	1	-1	1772	2685	1321	5368	3943	1789	40
1	1	1	1	-1	1	1	1756	2652	1162	4719	3441	1614	36
1	1	1	1	1	-1	-1	2448	3463	1364	5119	4003	1932	50
1	1	1	1	1	-1	1	2417	3410	1207	4520	3488	1750	45

1	1	1	1	1	1	-1	1749	2433	1248	4702	3920	1655	4319
1	1	1	1	1	1	-1	1710	2414	1108	4182	3433	1501	3946
-2,65	0	0	0	0	0	0	3858	4653	1798	5526	4379	1773	4768
2,65	0	0	0	0	0	0	1957	3036	1021	5497	4252	2112	4622
0	-2,65	0	0	0	0	0	3429	3952	726	5814	4229	1563	3922
0	2,65	0	0	0	0	0	2161	2850	1009	5479	4264	2095	4764
0	0	-2,65	0	0	0	0	2636	3620	2075	7735	6741	2645	6259
0	0	2,65	0	0	0	0	2489	3578	1051	4264	3129	1464	3764
0	0	-2,65	0	0	0	0	2481	4330	1126	5772	4400	3645	4932
0	0	-2,65	0	0	0	0	2492	3432	2074	5397	4033	1616	4516
0	0	0	0	-2,65	0	0	2729	3864	1298	6271	4270	1968	3303
0	0	0	0	2,65	0	0	2316	3162	1245	5006	4215	1638	4631
0	0	0	0	0	-2,65	0	3785	4874	2092	5716	3233	1963	4326
0	0	0	0	0	2,65	0	2027	3401	2168	5359	3985	1133	4320
0	0	0	0	0	0	-2,65	2499	2508	1301	4025	3503	1697	3134
0	0	0	0	0	0	2,65	2446	3129	1529	4059	3397	2140	3891
0	0	0	0	0	0	0	2513	3682	1309	5509	4257	1850	4716

Tab. 0.1.1 - Banco de dados das variáveis da estrutura e das respectivas tensões máximas (N/cm²).

As Ci até C7 representam as variáveis da estrutura A1 a A7. Estão codificadas para efeitos de regressão, onde -1 e 1 representam valor extremos e 0 (zero) o valor intermediário dos níveis de variável.